

# 第 392 回 地震調査委員会資料

## 〈 目 次 〉

- ◆ 広帯域地震計を用いたモーメントテンソル解析結果（2023年10月01日-10月31日） …… 2
- ◆ 紀伊半島・東海地域の深部低周波微動活動状況（2023年10月） …… 17
- ◆ 四国の深部低周波微動活動状況（2023年10月） …… 18
- ◆ 2023年10月9日鳥島近海の地震のF-net観測波形 …… 19
- ◆ 2023年10月鳥島近海の地震（F-netによるメカニズム解） …… 21

令和5年11月10日



国立研究開発法人

**防災科学技術研究所**

National Research Institute for Earth Science and Disaster Resilience

広帯域地震計を用いたモーメントテンソル解析結果  
(2023年10月01日-10月31日)

期間中のイベント数:178

・北海道地方

23) 択捉島付近	(10/03 08:34 Mw4.2 H_35km VR65.87/3)	西北西-東南東圧縮の逆断層
77) 択捉島付近	(10/06 09:42 Mw4.4 H_23km VR88.75/3)	北西-南東圧縮の逆断層
78) 択捉島付近	(10/06 10:12 Mw4.0 H_41km VR69.24/3)	北北西-南南東圧縮の逆断層
108) 国後島付近	(10/09 14:09 Mw5.3 H165km VR94.22/3)	東西方向に圧縮軸を持つ型
116) 択捉島付近	(10/13 07:33 Mw4.9 H_26km VR84.82/3)	西北西-東南東圧縮の逆断層
133) 渡島支庁北部	(10/19 09:15 Mw4.0 H145km VR71.08/3)	北北西-南南東方向に圧縮軸を持つ型
151) 北海道東方沖	(10/24 01:01 Mw4.0 H_65km VR71.57/3)	西北西-東南東方向に圧縮軸を持つ型
176) 北海道東方沖	(10/30 13:48 Mw4.1 H_44km VR87.45/3)	西北西-東南東方向に圧縮軸を持つ型

・東北地方

3) 三陸沖	(10/01 03:09 Mw4.0 H_17km VR75.28/3)	西北西-東南東圧縮の逆断層
5) 宮城県沖	(10/01 13:25 Mw4.0 H_47km VR74.07/3)	西北西-東南東圧縮の逆断層
85) 福島県沖	(10/06 16:44 Mw4.1 H_65km VR78.03/3)	東西圧縮の逆断層
96) 岩手県沖	(10/07 23:26 Mw4.8 H_38km VR88.12/3)	西北西-東南東圧縮の逆断層
114) 宮城県沖	(10/12 18:55 Mw4.0 H_50km VR67.30/3)	東西圧縮の逆断層
117) 青森県西方沖	(10/13 18:59 Mw4.9 H185km VR78.51/3)	西北西-東南東伸張の正断層
118) 青森県東方沖	(10/14 11:29 Mw4.9 H_56km VR84.45/3)	西北西-東南東圧縮の逆断層
123) 日本海中部	(10/15 01:25 Mw4.4 H500km VR63.17/3)	西北西-東南東方向に圧縮軸を持つ型
146) 岩手県沖	(10/22 21:48 Mw4.3 H_44km VR86.00/3)	東北東-西南西方向に圧縮軸を持つ型
170) 宮城県沖	(10/29 11:13 Mw4.3 H_29km VR91.50/3)	東北東-西南西方向に圧縮軸を持つ型
171) 宮城県沖	(10/29 11:25 Mw4.3 H_29km VR92.17/3)	東北東-西南西方向に圧縮軸を持つ型

・関東・中部地方

10) 八丈島東方沖	(10/02 09:06 Mw4.1 H_38km VR67.11/3)	東西方向に伸長軸を持つ型
16) 栃木県南部	(10/02 22:26 Mw4.0 H125km VR70.37/3)	北西-南東方向に伸長軸を持つ型
19) 八丈島東方沖	(10/03 01:30 Mw4.2 H_5km VR62.19/3)	東西圧縮の逆断層
129) 房総半島南東沖	(10/18 08:41 Mw4.1 H_5km VR69.82/3)	東西圧縮の逆断層
156) 静岡県東部	(10/24 21:29 Mw4.2 H150km VR67.81/3)	西北西-東南東方向に伸長軸を持つ型
166) 茨城県北部	(10/28 01:28 Mw4.0 H_98km VR85.23/3)	北西-南東方向に伸長軸を持つ型
177) 八丈島東方沖	(10/31 07:44 Mw4.5 H_5km VR64.96/3)	東西方向に圧縮軸を持つ型

・小笠原地方

4) 鳥島東方沖	(10/01 13:05 Mw4.1 H_5km VR53.57/3)	東北東-西南西圧縮の逆断層
6) 鳥島近海	(10/02 00:36 Mw4.6 H_5km VR65.08/3)	東北東-西南西方向に伸長軸を持つ型
7) 鳥島近海	(10/02 04:09 Mw4.5 H_5km VR80.55/3)	北東-南西伸張の正断層
9) 鳥島近海	(10/02 05:42 Mw4.4 H_5km VR65.12/3)	東北東-西南西方向に伸長軸を持つ型
11) 父島近海	(10/02 11:33 Mw4.8 H_5km VR67.60/3)	東北東-西南西圧縮の逆断層
12) 鳥島近海	(10/02 16:29 Mw4.2 H_5km VR70.52/3)	北東-南西方向に伸長軸を持つ型
13) 鳥島東方沖	(10/02 17:46 Mw4.3 H_5km VR57.40/3)	東北東-西南西圧縮の逆断層

14) 鳥島近海	(10/02 17:49 Mw4.1 H_5km VR55.62/3)	北東—南西伸張の横ずれ断層
15) 鳥島近海	(10/02 22:15 Mw4.7 H_5km VR73.78/3)	東北東—西南西伸張の正断層
17) 鳥島近海	(10/02 23:17 Mw4.8 H_5km VR70.10/3)	東北東—西南西伸張の正断層
18) 鳥島近海	(10/03 00:43 Mw4.6 H_5km VR72.25/3)	東北東—西南西方向に伸長軸を持つ型
21) 鳥島近海	(10/03 04:17 Mw4.3 H_5km VR55.85/3)	北東—南西伸張の正断層
22) 鳥島近海	(10/03 07:42 Mw4.6 H_5km VR60.65/3)	東北東—西南西伸張の正断層
24) 鳥島近海	(10/03 10:37 Mw4.4 H_5km VR61.21/3)	東北東—西南西伸張の正断層
25) 鳥島近海	(10/03 16:19 Mw4.5 H_5km VR61.64/3)	東北東—西南西方向に伸長軸を持つ型
26) 鳥島東方沖	(10/03 17:29 Mw4.9 H_5km VR69.92/3)	東北東—西南西方向に伸長軸を持つ型
27) 鳥島近海	(10/03 17:37 Mw4.4 H_14km VR64.62/3)	東北東—西南西方向に伸長軸を持つ型
28) 鳥島近海	(10/03 20:21 Mw4.2 H_26km VR57.14/3)	東北東—西南西方向に伸長軸を持つ型
29) 鳥島近海	(10/03 20:38 Mw6.0 H_29km VR68.38/3)	東北東—西南西方向に伸長軸を持つ型
30) 鳥島近海	(10/03 22:38 Mw4.5 H_20km VR72.57/3)	東西方向に伸長軸を持つ型
31) 鳥島近海	(10/03 23:09 Mw4.6 H_23km VR69.52/3)	東北東—西南西方向に伸長軸を持つ型
32) 鳥島近海	(10/04 00:18 Mw4.6 H_5km VR67.44/3)	北東—南西方向に伸長軸を持つ型
33) 鳥島近海	(10/04 00:22 Mw5.7 H_5km VR76.01/3)	東北東—西南西伸張の正断層
34) 鳥島近海	(10/04 03:59 Mw4.3 H_23km VR59.87/3)	東北東—西南西方向に伸長軸を持つ型
35) 鳥島近海	(10/04 04:16 Mw5.2 H560km VR68.84/3)	東西方向に圧縮軸を持つ型
36) 鳥島近海	(10/04 04:27 Mw4.7 H_5km VR64.48/3)	東北東—西南西方向に伸長軸を持つ型
37) 鳥島近海	(10/04 05:32 Mw5.3 H_5km VR54.16/3)	東北東—西南西方向に伸長軸を持つ型
38) 鳥島近海	(10/04 06:19 Mw4.6 H_26km VR69.12/3)	東北東—西南西方向に伸長軸を持つ型
39) 鳥島近海	(10/04 07:38 Mw4.4 H_5km VR59.49/3)	北東—南西伸張の正断層
40) 鳥島近海	(10/04 09:13 Mw5.4 H_5km VR67.60/3)	東北東—西南西伸張の正断層
41) 鳥島近海	(10/04 11:19 Mw5.6 H_23km VR71.08/3)	東北東—西南西方向に伸長軸を持つ型
42) 鳥島近海	(10/04 13:49 Mw4.4 H_29km VR61.75/3)	東北東—西南西方向に伸長軸を持つ型
43) 鳥島東方沖	(10/04 13:55 Mw5.8 H_5km VR65.72/3)	東北東—西南西圧縮の逆断層
44) 鳥島東方沖	(10/04 14:57 Mw5.7 H_5km VR61.62/3)	東北東—西南西圧縮の逆断層
45) 鳥島近海	(10/04 19:47 Mw4.9 H_23km VR74.83/3)	東北東—西南西方向に伸長軸を持つ型
46) 鳥島東方沖	(10/04 20:00 Mw4.8 H_5km VR62.94/3)	東北東—西南西圧縮の逆断層
47) 鳥島近海	(10/04 20:05 Mw5.2 H_38km VR65.27/3)	東北東—西南西伸張の正断層
48) 鳥島東方沖	(10/04 20:13 Mw5.0 H_5km VR68.28/3)	東北東—西南西圧縮の逆断層
50) 鳥島近海	(10/05 02:12 Mw4.7 H_5km VR61.05/3)	東北東—西南西方向に伸長軸を持つ型
51) 鳥島近海	(10/05 02:22 Mw5.2 H_20km VR65.77/3)	東北東—西南西方向に伸長軸を持つ型
52) 鳥島近海	(10/05 03:20 Mw4.5 H_41km VR65.30/3)	東北東—西南西方向に伸長軸を持つ型
53) 鳥島近海	(10/05 03:30 Mw4.9 H_5km VR80.09/3)	北東—南西伸張の正断層
54) 鳥島近海	(10/05 08:18 Mw5.2 H_5km VR61.54/3)	東北東—西南西伸張の正断層
55) 鳥島東方沖	(10/05 08:47 Mw5.2 H_5km VR77.52/3)	東北東—西南西圧縮の逆断層
57) 鳥島近海	(10/05 10:05 Mw5.2 H_5km VR76.59/3)	東西圧縮の逆断層
58) 鳥島東方沖	(10/05 10:40 Mw4.7 H_5km VR68.29/3)	東北東—西南西圧縮の逆断層
59) 鳥島近海	(10/05 10:59 Mw6.0 H_5km VR65.61/3)	東北東—西南西伸張の正断層
60) 鳥島近海	(10/05 11:53 Mw5.6 H_5km VR60.12/3)	西北西—東南東伸張の正断層

61) 鳥島近海	(10/05 13:00 Mw4.7 H_8km VR50.67/3)	北東—南西方向に伸長軸を持つ型
62) 鳥島近海	(10/05 14:41 Mw5.0 H_5km VR55.66/3)	東西方向に伸長軸を持つ型
63) 鳥島近海	(10/05 15:22 Mw5.8 H_5km VR58.45/3)	東北東—西南西圧縮の逆断層
64) 鳥島近海	(10/05 15:48 Mw5.1 H_5km VR66.99/3)	東北東—西南西圧縮の逆断層
65) 鳥島近海	(10/05 17:50 Mw5.0 H_5km VR75.15/3)	東西圧縮の逆断層
67) 鳥島近海	(10/05 20:56 Mw4.5 H_5km VR64.79/3)	東西圧縮の逆断層
68) 鳥島近海	(10/05 21:01 Mw4.8 H_5km VR56.76/3)	北東—南西伸張の正断層
69) 鳥島近海	(10/05 22:39 Mw4.8 H_5km VR64.43/3)	北東—南西方向に伸長軸を持つ型
70) 鳥島近海	(10/05 22:56 Mw4.4 H_29km VR71.06/3)	西北西—東南東方向に伸長軸を持つ型
71) 鳥島近海	(10/05 23:53 Mw5.0 H_5km VR73.53/3)	東西圧縮の逆断層
72) 鳥島近海	(10/06 01:11 Mw4.4 H_5km VR66.15/3)	東西圧縮の逆断層
73) 鳥島近海	(10/06 01:25 Mw4.2 H_5km VR55.57/3)	西北西—東南東方向に伸長軸を持つ型
74) 鳥島近海	(10/06 01:58 Mw4.2 H_35km VR55.34/3)	西北西—東南東方向に伸長軸を持つ型
75) 鳥島近海	(10/06 05:53 Mw4.2 H_5km VR70.64/3)	西北西—東南東圧縮の逆断層
76) 鳥島東方沖	(10/06 06:56 Mw5.3 H_5km VR62.33/3)	東北東—西南西圧縮の逆断層
79) 鳥島近海	(10/06 10:31 Mw6.0 H_5km VR78.91/3)	東西伸張の正断層
81) 鳥島東方沖	(10/06 13:57 Mw4.8 H_5km VR71.83/3)	北西—南東圧縮の逆断層
82) 鳥島近海	(10/06 14:20 Mw4.3 H_26km VR72.77/3)	北西—南東方向に伸長軸を持つ型
83) 鳥島近海	(10/06 14:49 Mw5.5 H_5km VR66.80/3)	東西伸張の正断層
84) 鳥島近海	(10/06 16:09 Mw4.7 H_20km VR67.05/3)	東北東—西南西方向に伸長軸を持つ型
86) 鳥島近海	(10/06 22:06 Mw4.5 H_11km VR67.96/3)	西北西—東南東方向に伸長軸を持つ型
87) 鳥島近海	(10/06 22:15 Mw5.1 H_44km VR73.35/3)	北西—南東方向に伸長軸を持つ型
88) 鳥島近海	(10/07 01:13 Mw4.2 H_14km VR69.72/3)	北西—南東方向に伸長軸を持つ型
89) 鳥島近海	(10/07 02:43 Mw4.2 H_41km VR67.16/3)	東西伸張の正断層
91) 鳥島近海	(10/07 04:51 Mw4.8 H_5km VR76.85/3)	北東—南西伸張の正断層
93) 鳥島東方沖	(10/07 08:36 Mw4.2 H_5km VR61.26/3)	東北東—西南西圧縮の逆断層
94) 鳥島近海	(10/07 13:46 Mw4.4 H_44km VR76.85/3)	北西—南東方向に伸長軸を持つ型
97) 鳥島東方沖	(10/08 02:29 Mw4.4 H_11km VR58.88/3)	西北西—東南東方向に圧縮軸を持つ型
99) 鳥島東方沖	(10/08 08:32 Mw4.1 H_5km VR61.89/3)	東北東—西南西圧縮の逆断層
100) 鳥島近海	(10/08 14:36 Mw5.0 H_5km VR57.24/3)	東北東—西南西伸張の正断層
104) 鳥島東方沖	(10/09 06:53 Mw4.3 H_5km VR63.17/3)	東北東—西南西方向に圧縮軸を持つ型
112) 鳥島東方沖	(10/11 20:31 Mw4.2 H_5km VR60.71/3)	西北西—東南東圧縮の逆断層
119) 八丈島近海	(10/14 13:33 Mw4.5 H_47km VR85.48/3)	西北西—東南東方向に圧縮軸を持つ型
124) 鳥島東方沖	(10/15 08:44 Mw4.5 H_5km VR65.04/3)	北北東—南南西方向に圧縮軸を持つ型
132) 鳥島東方沖	(10/19 07:15 Mw5.1 H_5km VR86.96/3)	西北西—東南東圧縮の逆断層
134) 鳥島東方沖	(10/19 09:48 Mw4.7 H_38km VR80.55/3)	東北東—西南西圧縮の逆断層
139) 鳥島東方沖	(10/21 04:01 Mw5.0 H_5km VR86.69/3)	西北西—東南東圧縮の逆断層
142) 鳥島東方沖	(10/21 11:42 Mw4.3 H_5km VR63.79/3)	北東—南西方向に圧縮軸を持つ型
169) 鳥島近海	(10/29 05:18 Mw4.1 H_23km VR86.40/3)	東北東—西南西方向に伸長軸を持つ型
・東海道沖		
80) 東海道沖	(10/06 12:49 Mw5.0 H480km VR55.68/3)	北西—南東方向に圧縮軸を持つ型

103) 東海道沖	(10/08 22:19 Mw4.2 H340km VR87.48/3)	西北西—東南東方向に圧縮軸を持つ型
138) 東海道沖	(10/21 01:55 Mw4.6 H380km VR95.31/3)	西北西—東南東方向に圧縮軸を持つ型
155) 東海道沖	(10/24 17:42 Mw4.1 H360km VR66.77/3)	東西方向に圧縮軸を持つ型
・九州地方		
136) 奄美大島近海	(10/20 03:28 Mw4.1 H_56km VR73.82/3)	西北西—東南東圧縮の逆断層
165) 奄美大島近海	(10/27 23:07 Mw4.1 H_5km VR67.31/2)	東北東—西南西伸張の正断層
174) 奄美大島近海	(10/30 07:55 Mw4.3 H_35km VR69.92/3)	北西—南東圧縮の逆断層
・沖縄地方		
66) 台湾付近	(10/05 17:53 Mw4.5 H_20km VR77.27/2)	北北西—南南東圧縮の逆断層
90) 石垣島近海	(10/07 04:24 Mw4.3 H_5km VR85.98/3)	北北西—南南東伸張の正断層
92) 石垣島近海	(10/07 08:27 Mw4.2 H_5km VR86.54/3)	北北西—南南東伸張の正断層
95) 石垣島近海	(10/07 14:49 Mw4.4 H_5km VR79.29/2)	北北西—南南東伸張の正断層
101) 石垣島近海	(10/08 15:42 Mw4.3 H_5km VR88.49/3)	北北西—南南東伸張の正断層
111) 台湾付近	(10/11 19:36 Mw5.2 H_29km VR63.95/2)	北西—南東圧縮の横ずれ断層
115) 台湾付近	(10/12 21:16 Mw4.6 H_35km VR56.60/2)	東西方向に圧縮軸を持つ型
120) 台湾付近	(10/14 16:53 Mw5.0 H_29km VR79.56/3)	南北圧縮の横ずれ断層
121) 台湾付近	(10/14 17:05 Mw4.5 H_23km VR66.97/3)	南北方向に圧縮軸を持つ型
122) 台湾付近	(10/14 23:04 Mw4.6 H_44km VR83.45/3)	南北方向に圧縮軸を持つ型
125) 宮古島近海	(10/16 19:42 Mw5.6 H_11km VR79.84/3)	東北東—西南西伸張の正断層
126) 宮古島近海	(10/17 05:50 Mw4.3 H_8km VR74.66/3)	東北東—西南西伸張の正断層
135) 沖縄本島近海	(10/19 12:51 Mw4.9 H_8km VR59.15/3)	北東—南西圧縮の逆断層
147) 沖縄本島近海	(10/22 23:13 Mw4.0 H_65km VR58.50/3)	西北西—東南東圧縮の逆断層
150) 台湾付近	(10/23 22:19 Mw4.5 H_38km VR76.71/2)	北北西—南南東方向に圧縮軸を持つ型
153) 与那国島近海	(10/24 08:05 Mw6.0 H_44km VR85.16/3)	南北圧縮の逆断層
154) 与那国島近海	(10/24 11:54 Mw4.7 H_32km VR84.24/3)	南北圧縮の逆断層
167) 台湾付近	(10/28 11:16 Mw4.3 H_35km VR82.12/2)	東西方向に圧縮軸を持つ型
168) 与那国島近海	(10/29 01:27 Mw4.0 H_29km VR86.68/2)	南北圧縮の逆断層
175) 沖縄本島近海	(10/30 08:38 Mw4.3 H_83km VR91.05/3)	西北西—東南東方向に圧縮軸を持つ型
178) 台湾付近	(10/31 21:33 Mw4.4 H_56km VR56.06/2)	東北東—西南西方向に圧縮軸を持つ型

\*Mw4.0以上をリストアップ.

\*\*下線部はMw5.0以上を示す.

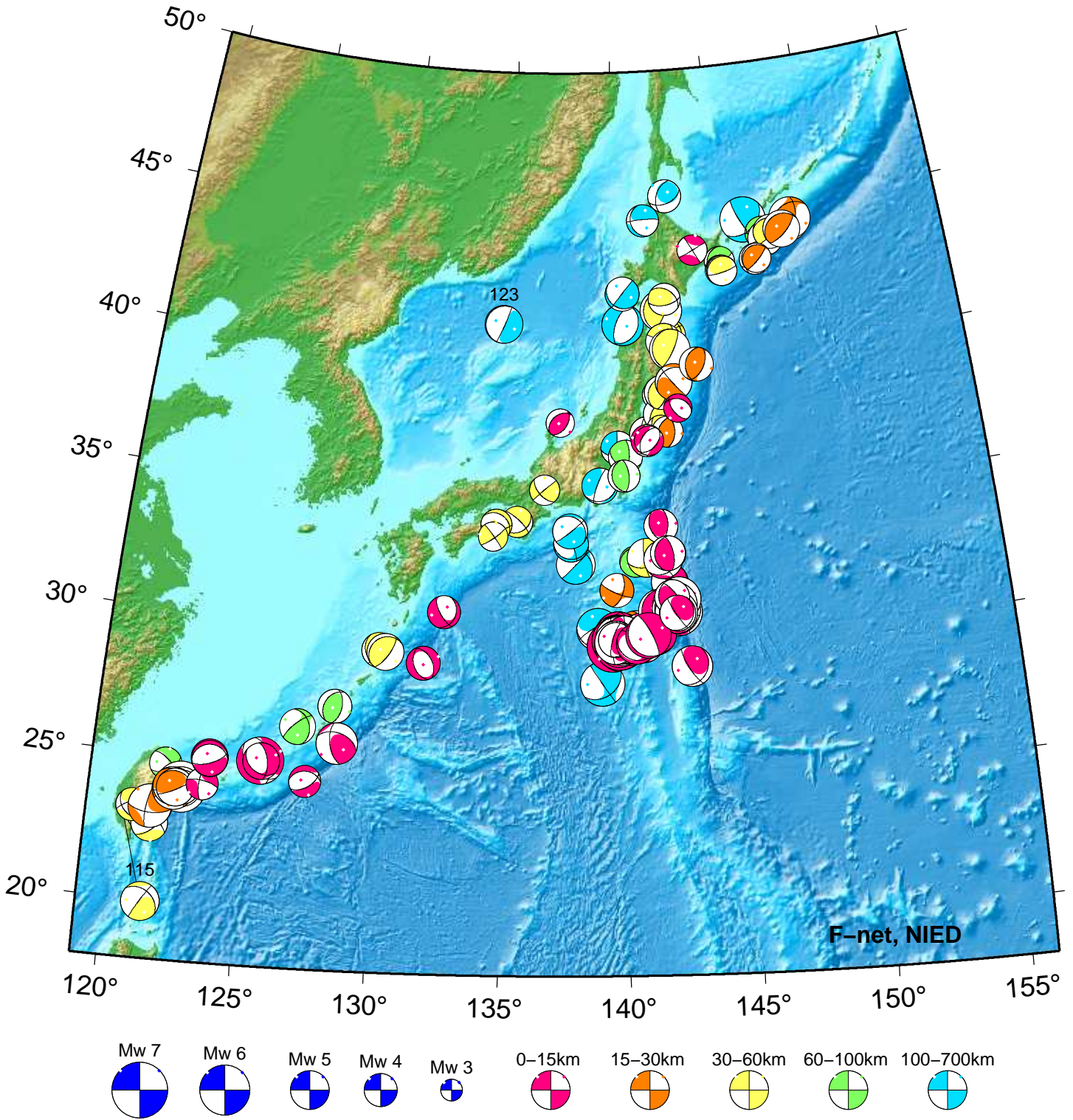
\*\*\*” VR” 欄の” /” の後の数は解析に使用した観測点数を示す.

\*\*\*\*断層タイプの分類はFrohlich [1992]による.

謝辞 地形データは海上保安庁のものを使用させて頂きました. 記して感謝いたします

# NIED Moment Tensor Solutions

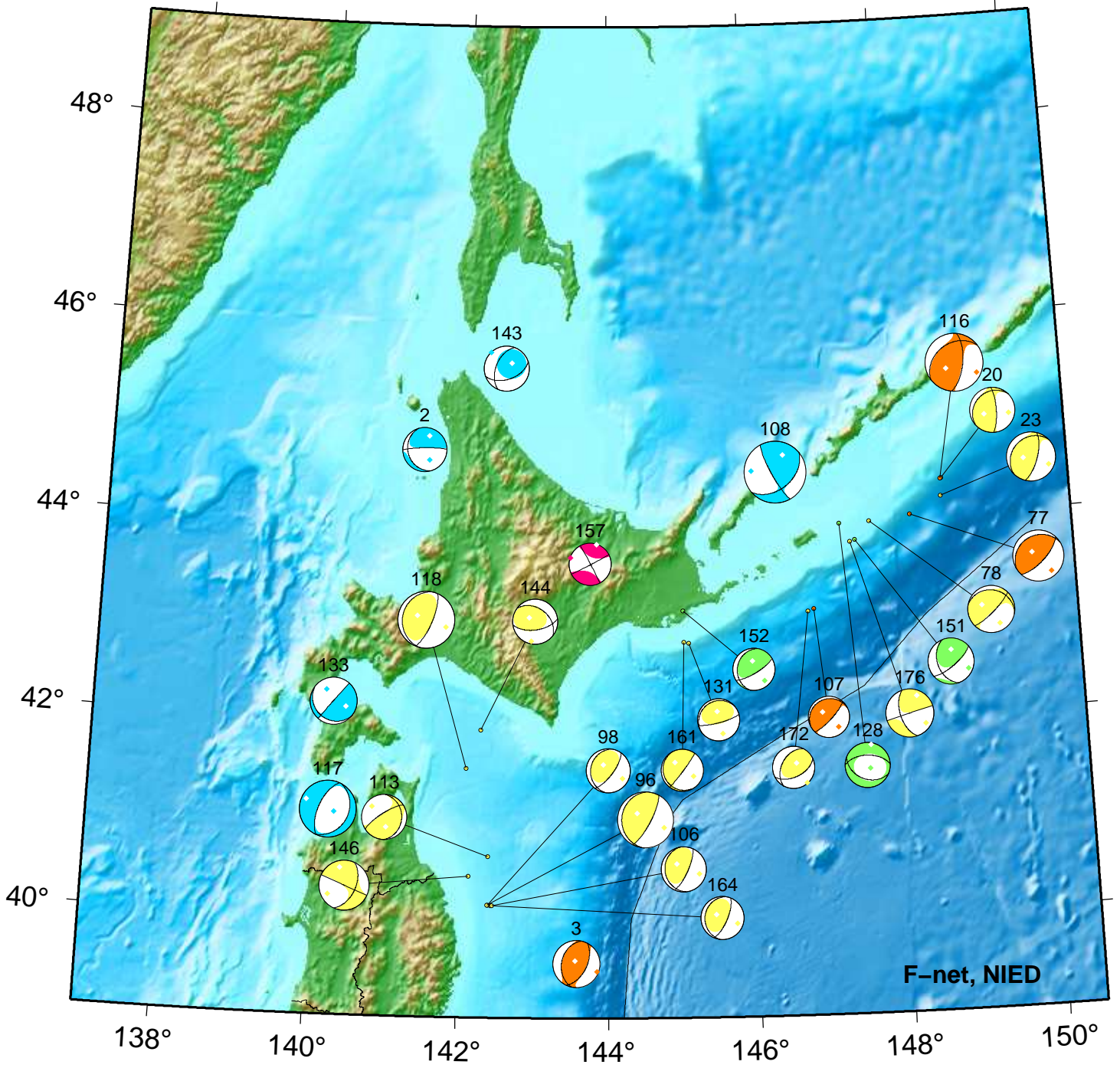
Oct 01,2023–Oct 31,2023(JST)



115. 10/12 21:16 Mw4.6 H\_35km VR56.6    123. 10/15 01:25 Mw4.4 H500km VR63.2

# Hokkaido

Oct 01,2023–Oct 31,2023(JST)



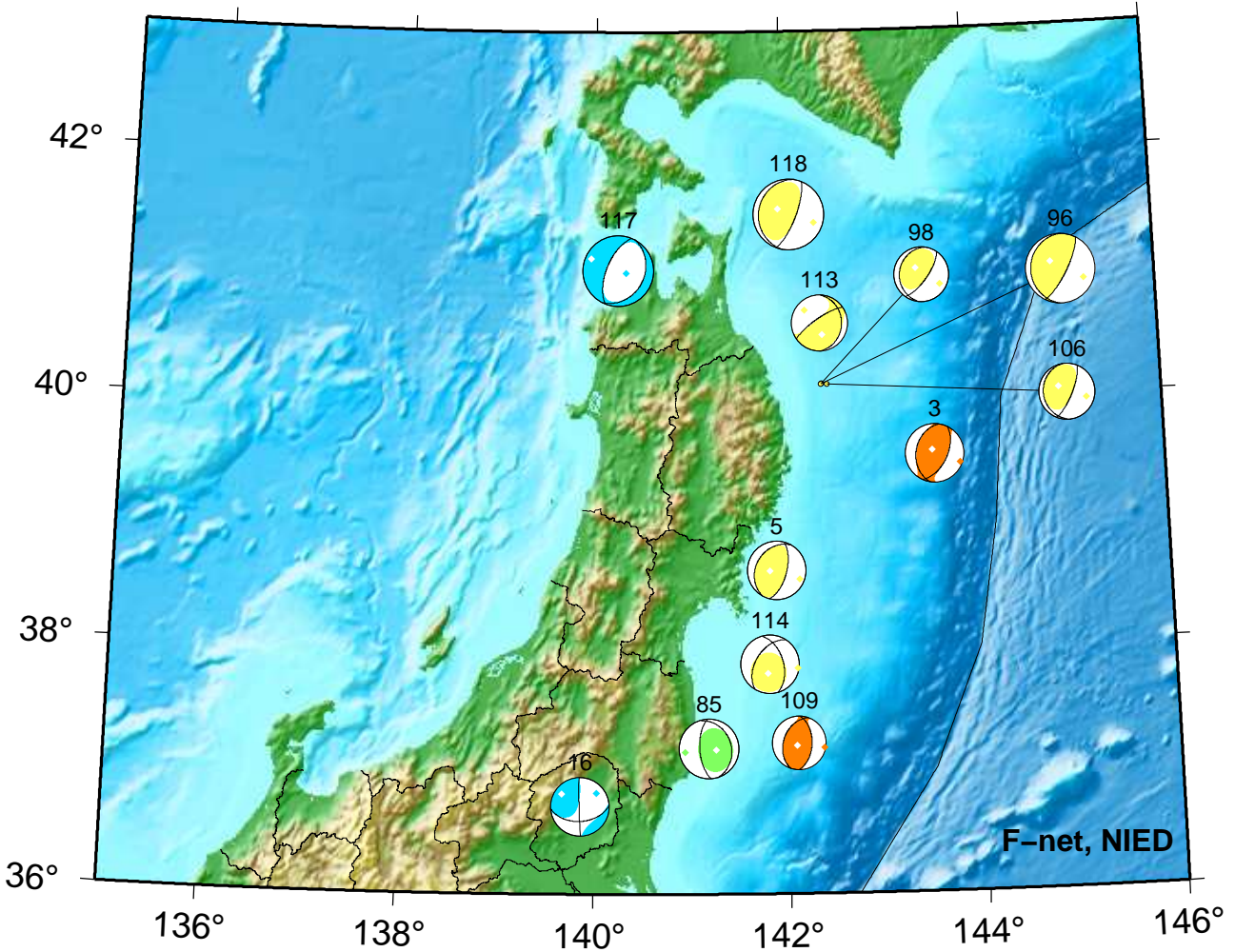
F-net, NIED



2. 10/01 02:37 Mw3.8 H290km VR62.1	108. 10/09 14:09 Mw5.3 H165km VR94.2	146. 10/22 21:48 Mw4.3 H_44km VR86.0
3. 10/01 03:09 Mw4.0 H_17km VR75.3	113. 10/11 23:10 Mw3.9 H_59km VR70.4	151. 10/24 01:01 Mw4.0 H_65km VR71.6
20. 10/03 01:45 Mw3.9 H_35km VR75.6	116. 10/13 07:33 Mw4.9 H_26km VR84.8	152. 10/24 05:05 Mw3.6 H_86km VR75.2
23. 10/03 08:34 Mw4.2 H_35km VR65.9	117. 10/13 18:59 Mw4.9 H185km VR78.5	157. 10/24 23:53 Mw3.6 H_8km VR73.5
77. 10/06 09:42 Mw4.4 H_23km VR88.8	118. 10/14 11:29 Mw4.9 H_56km VR84.5	161. 10/25 19:35 Mw3.6 H_53km VR77.9
78. 10/06 10:12 Mw4.0 H_41km VR69.2	128. 10/18 07:56 Mw3.9 H_80km VR56.5	164. 10/27 22:30 Mw3.7 H_44km VR75.8
96. 10/07 23:26 Mw4.8 H_38km VR88.1	131. 10/19 01:27 Mw3.6 H_47km VR79.4	172. 10/29 17:37 Mw3.7 H_41km VR78.5
98. 10/08 06:57 Mw3.7 H_44km VR83.8	133. 10/19 09:15 Mw4.0 H145km VR71.1	176. 10/30 13:48 Mw4.1 H_44km VR87.5
106. 10/09 11:51 Mw3.9 H_38km VR86.9	143. 10/21 12:39 Mw3.9 H340km VR57.5	
107. 10/09 13:40 Mw3.5 H_26km VR56.0	144. 10/21 18:32 Mw3.8 H_47km VR84.8	

# Tohoku

Oct 01,2023–Oct 15,2023(JST)



F-net, NIED



3. 10/01 03:09 Mw4.0 H\_17km VR75.3  
 5. 10/01 13:25 Mw4.0 H\_47km VR74.1  
 16. 10/02 22:26 Mw4.0 H125km VR70.4  
 85. 10/06 16:44 Mw4.1 H\_65km VR78.0

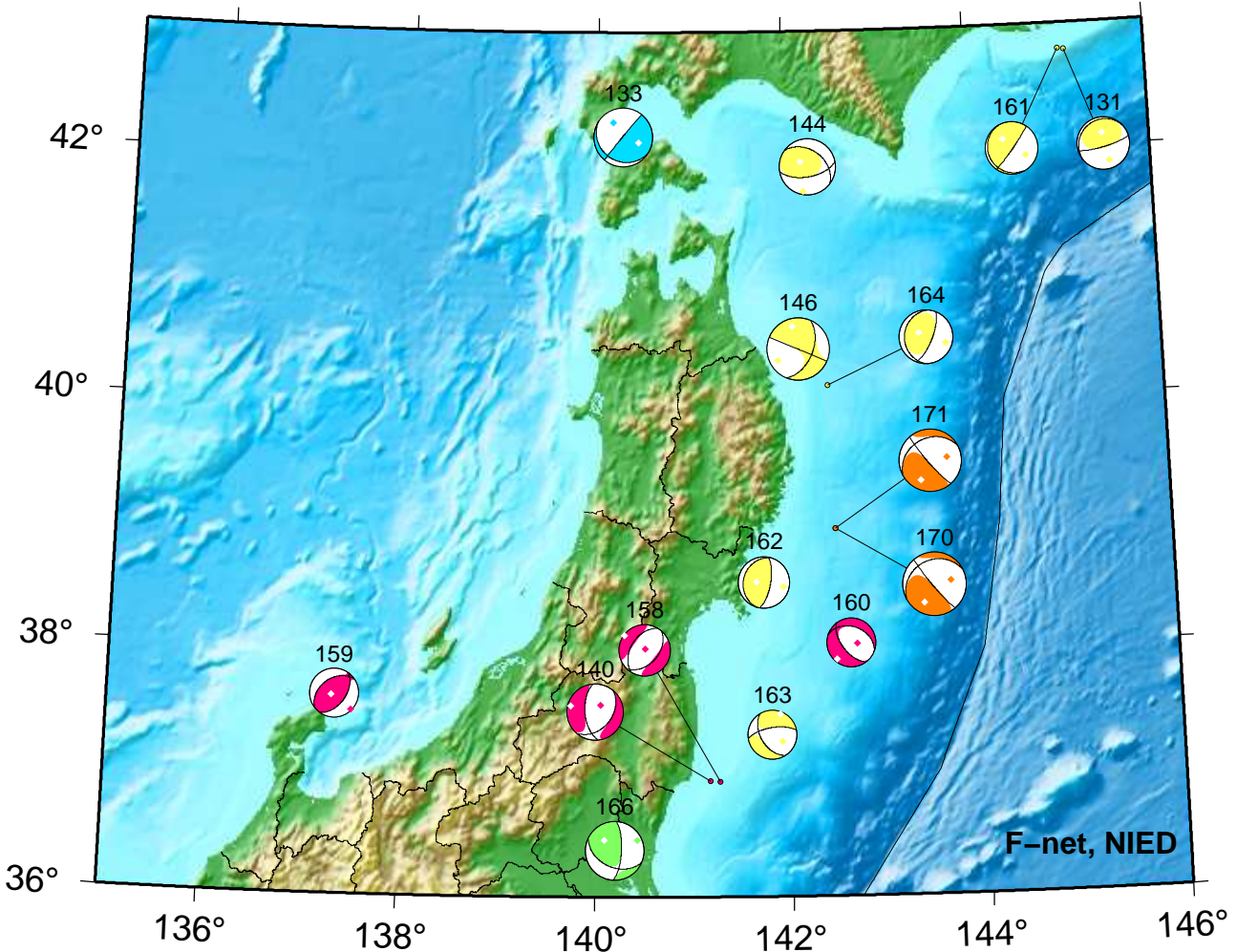
96. 10/07 23:26 Mw4.8 H\_38km VR88.1  
 98. 10/08 06:57 Mw3.7 H\_44km VR83.8  
 106. 10/09 11:51 Mw3.9 H\_38km VR86.9  
 109. 10/09 16:43 Mw3.7 H\_29km VR77.1

113. 10/11 23:10 Mw3.9 H\_59km VR70.4  
 114. 10/12 18:55 Mw4.0 H\_50km VR67.3  
 117. 10/13 18:59 Mw4.9 H185km VR78.5  
 118. 10/14 11:29 Mw4.9 H\_56km VR84.5



# Tohoku

Oct 16,2023–Oct 31,2023(JST)



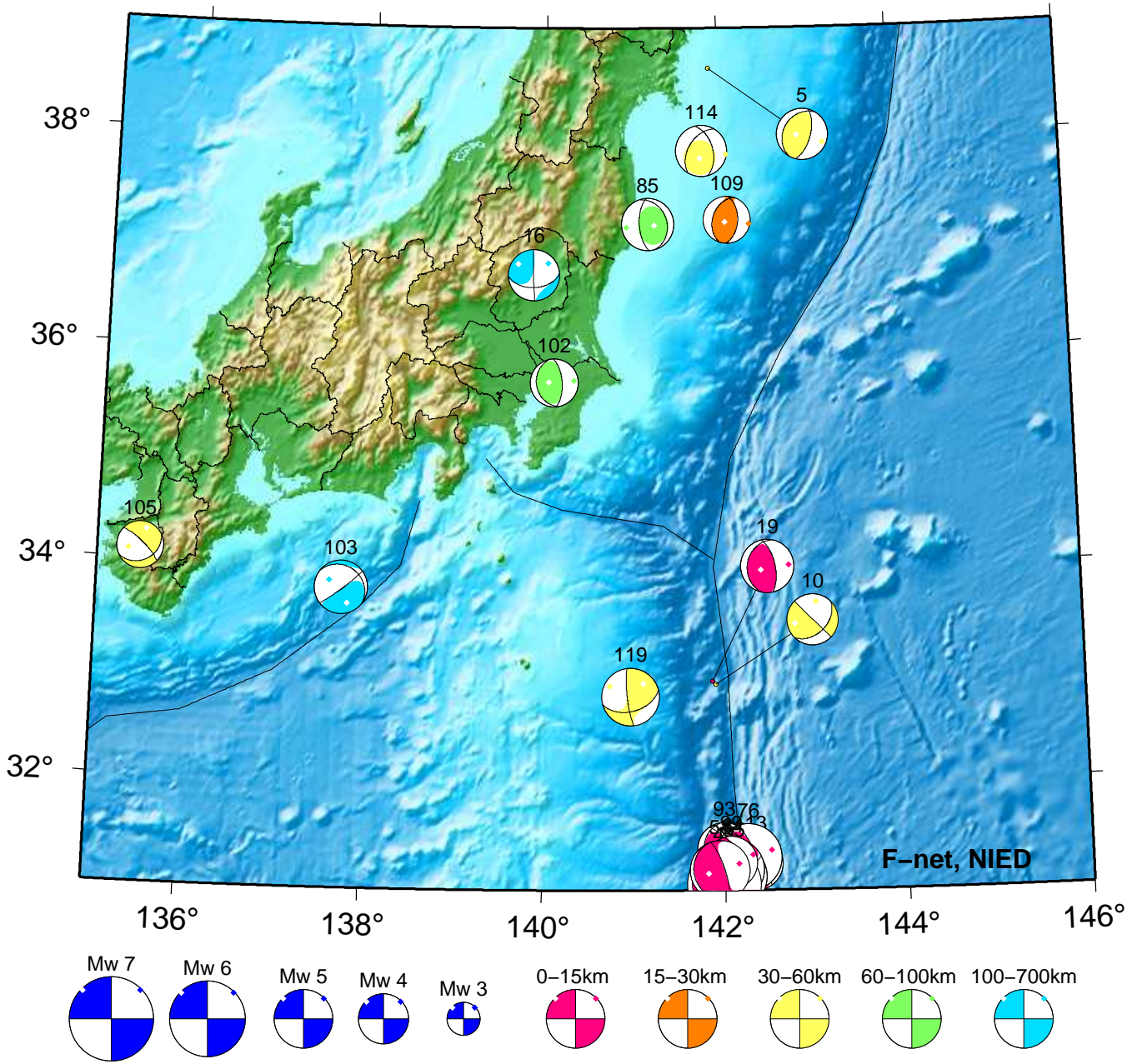
F-net, NIED



131. 10/19 01:27 Mw3.6 H_47km VR79.4	158. 10/25 01:04 Mw3.5 H_8km VR71.1	163. 10/27 20:02 Mw3.4 H_32km VR67.0
133. 10/19 09:15 Mw4.0 H_145km VR71.1	159. 10/25 08:50 Mw3.3 H_8km VR59.5	164. 10/27 22:30 Mw3.7 H_44km VR75.8
140. 10/21 05:55 Mw3.8 H_11km VR79.5	160. 10/25 17:24 Mw3.4 H_11km VR64.9	166. 10/28 01:28 Mw4.0 H_98km VR85.2
144. 10/21 18:32 Mw3.8 H_47km VR84.8	161. 10/25 19:35 Mw3.6 H_53km VR77.9	170. 10/29 11:13 Mw4.3 H_29km VR91.5
146. 10/22 21:48 Mw4.3 H_44km VR86.0	162. 10/26 02:41 Mw3.6 H_59km VR71.7	171. 10/29 11:25 Mw4.3 H_29km VR92.2

# Kanto-Chubu

Oct 01,2023–Oct 15,2023(JST)

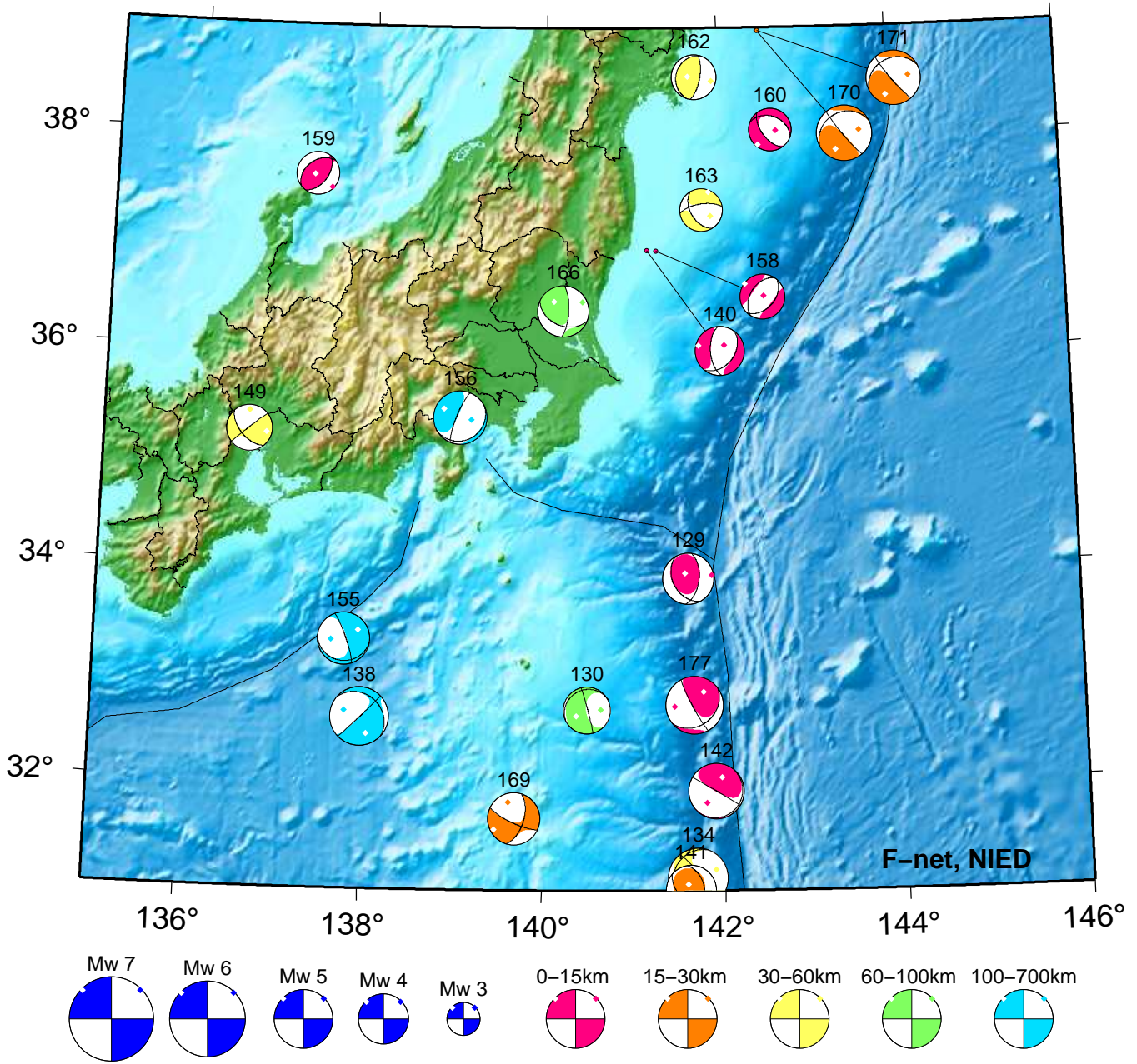


- |                                     |                                     |                                      |
|-------------------------------------|-------------------------------------|--------------------------------------|
| 5. 10/01 13:25 Mw4.0 H_47km VR74.1  | 58. 10/05 10:40 Mw4.7 H_5km VR68.3  | 102. 10/08 19:49 Mw3.8 H_62km VR83.1 |
| 10. 10/02 09:06 Mw4.1 H_38km VR67.1 | 76. 10/06 06:56 Mw5.3 H_5km VR62.3  | 103. 10/08 22:19 Mw4.2 H340km VR87.5 |
| 13. 10/02 17:46 Mw4.3 H_5km VR57.4  | 81. 10/06 13:57 Mw4.8 H_5km VR71.8  | 105. 10/09 08:18 Mw3.7 H_59km VR72.5 |
| 16. 10/02 22:26 Mw4.0 H125km VR70.4 | 85. 10/06 16:44 Mw4.1 H_65km VR78.0 | 109. 10/09 16:43 Mw3.7 H_29km VR77.1 |
| 19. 10/03 01:30 Mw4.2 H_5km VR62.2  | 93. 10/07 08:36 Mw4.2 H_5km VR61.3  | 114. 10/12 18:55 Mw4.0 H_50km VR67.3 |
| 43. 10/04 13:55 Mw5.8 H_5km VR65.7  | 97. 10/08 02:29 Mw4.4 H_11km VR58.9 | 119. 10/14 13:33 Mw4.5 H_47km VR85.5 |
| 55. 10/05 08:47 Mw5.2 H_5km VR77.5  | 99. 10/08 08:32 Mw4.1 H_5km VR61.9  |                                      |

※鳥島近海の活動については、メカニズム解を震源域の外に引き出していない。

# Kanto-Chubu

Oct 16,2023-Oct 31,2023(JST)

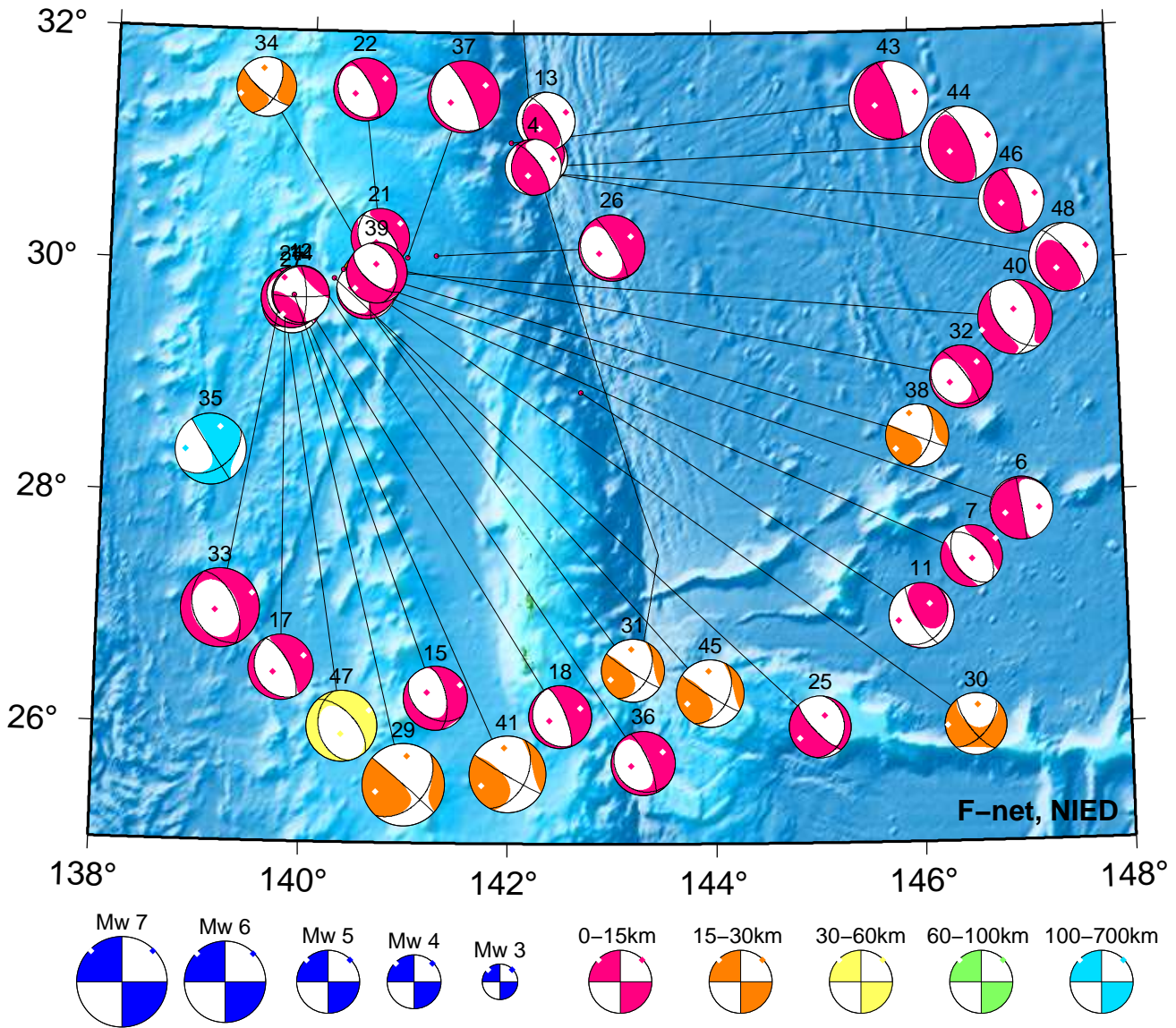


129. 10/18 08:41 Mw4.1 H_5km VR69.8	149. 10/23 13:49 Mw3.6 H_47km VR85.2	163. 10/27 20:02 Mw3.4 H_32km VR67.0
130. 10/18 15:52 Mw3.7 H_71km VR61.5	155. 10/24 17:42 Mw4.1 H360km VR66.8	166. 10/28 01:28 Mw4.0 H_98km VR85.2
134. 10/19 09:48 Mw4.7 H_38km VR80.5	156. 10/24 21:29 Mw4.2 H150km VR67.8	169. 10/29 05:18 Mw4.1 H_23km VR86.4
138. 10/21 01:55 Mw4.6 H380km VR95.3	158. 10/25 01:04 Mw3.5 H_8km VR71.1	170. 10/29 11:13 Mw4.3 H_29km VR91.5
140. 10/21 05:55 Mw3.8 H_11km VR79.5	159. 10/25 08:50 Mw3.3 H_8km VR59.5	171. 10/29 11:25 Mw4.3 H_29km VR92.2
141. 10/21 08:07 Mw3.9 H_26km VR67.0	160. 10/25 17:24 Mw3.4 H_11km VR64.9	177. 10/31 07:44 Mw4.5 H_5km VR65.0
142. 10/21 11:42 Mw4.3 H_5km VR63.8	162. 10/26 02:41 Mw3.6 H_59km VR71.7	

※鳥島近海の活動については、メカニズム解を震源域の外に引き出していない。

# Ogasawara

Oct 01, 2023–Oct 04, 2023(JST)

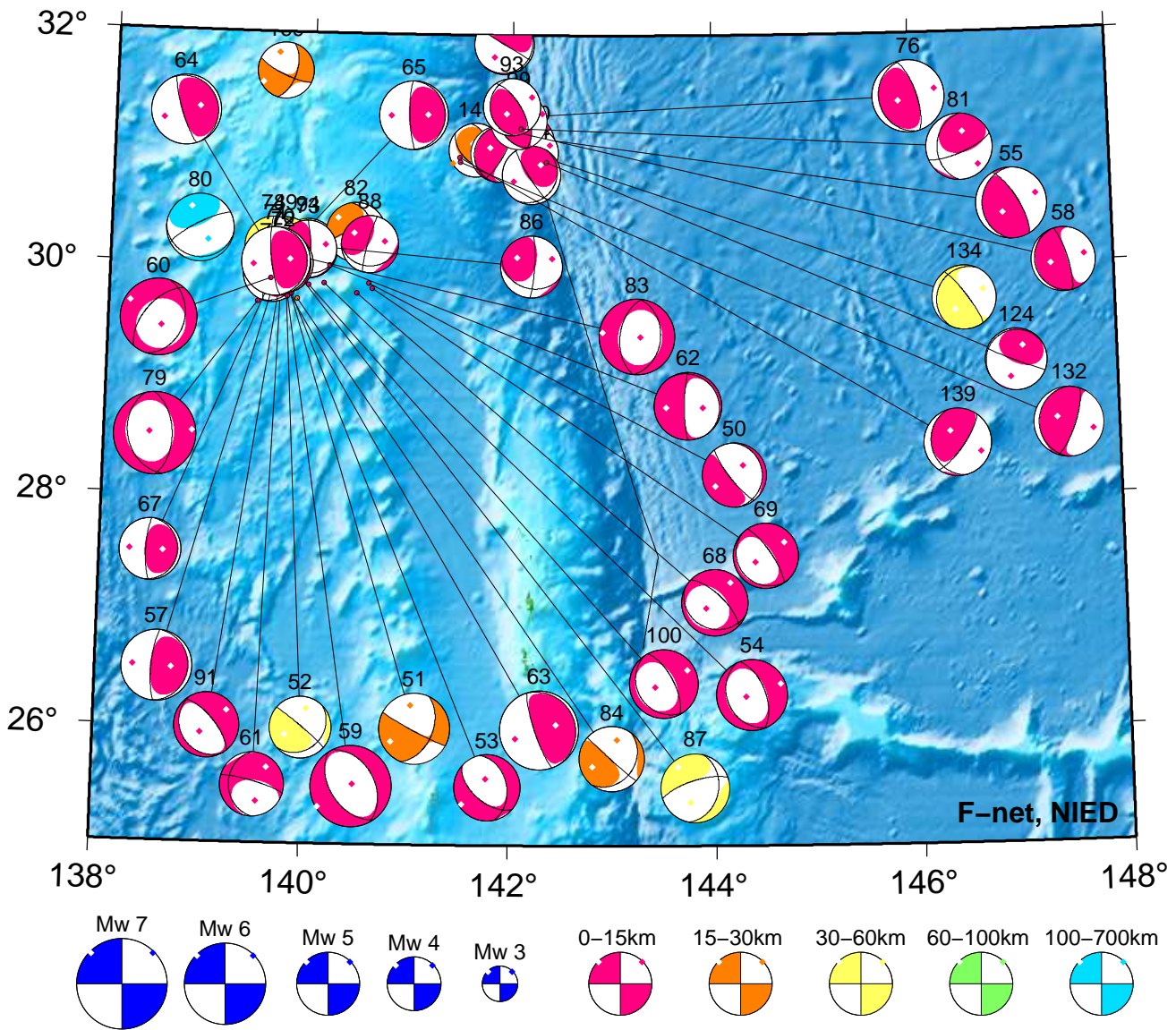


4. 10/01 13:05 Mw4.1 H_ 5km VR53.6	22. 10/03 07:42 Mw4.6 H_ 5km VR60.6	36. 10/04 04:27 Mw4.7 H_ 5km VR64.5
6. 10/02 00:36 Mw4.6 H_ 5km VR65.1	24. 10/03 10:37 Mw4.4 H_ 5km VR61.2	37. 10/04 05:32 Mw5.3 H_ 5km VR54.2
7. 10/02 04:09 Mw4.5 H_ 5km VR80.5	25. 10/03 16:19 Mw4.5 H_ 5km VR61.6	38. 10/04 06:19 Mw4.6 H_ 26km VR69.1
8. 10/02 04:53 Mw3.8 H_ 5km VR53.6	26. 10/03 17:29 Mw4.9 H_ 5km VR69.9	39. 10/04 07:38 Mw4.4 H_ 5km VR59.5
9. 10/02 05:42 Mw4.4 H_ 5km VR65.1	27. 10/03 17:37 Mw4.4 H_ 14km VR64.6	40. 10/04 09:13 Mw5.4 H_ 5km VR67.6
11. 10/02 11:33 Mw4.8 H_ 5km VR67.6	28. 10/03 20:21 Mw4.2 H_ 26km VR57.1	41. 10/04 11:19 Mw5.6 H_ 23km VR71.1
12. 10/02 16:29 Mw4.2 H_ 5km VR70.5	29. 10/03 20:38 Mw6.0 H_ 29km VR68.4	42. 10/04 13:49 Mw4.4 H_ 29km VR61.8
13. 10/02 17:46 Mw4.3 H_ 5km VR57.4	30. 10/03 22:38 Mw4.5 H_ 20km VR72.6	43. 10/04 13:55 Mw5.8 H_ 5km VR65.7
14. 10/02 17:49 Mw4.1 H_ 5km VR55.6	31. 10/03 23:09 Mw4.6 H_ 23km VR69.5	44. 10/04 14:57 Mw5.7 H_ 5km VR61.6
15. 10/02 22:15 Mw4.7 H_ 5km VR73.8	32. 10/04 00:18 Mw4.6 H_ 5km VR67.4	45. 10/04 19:47 Mw4.9 H_ 23km VR74.8
17. 10/02 23:17 Mw4.8 H_ 5km VR70.1	33. 10/04 00:22 Mw5.7 H_ 5km VR76.0	46. 10/04 20:00 Mw4.8 H_ 5km VR62.9
18. 10/03 00:43 Mw4.6 H_ 5km VR72.2	34. 10/04 03:59 Mw4.3 H_ 23km VR59.9	47. 10/04 20:05 Mw5.2 H_ 38km VR65.3
21. 10/03 04:17 Mw4.3 H_ 5km VR55.9	35. 10/04 04:16 Mw5.2 H_ 560km VR68.8	48. 10/04 20:13 Mw5.0 H_ 5km VR68.3

※鳥島近海の活動については、Mw4.5未満のメカニズム解を震源域の外に引き出していません。

# Ogasawara

Oct 05,2023–Oct 31,2023(JST)

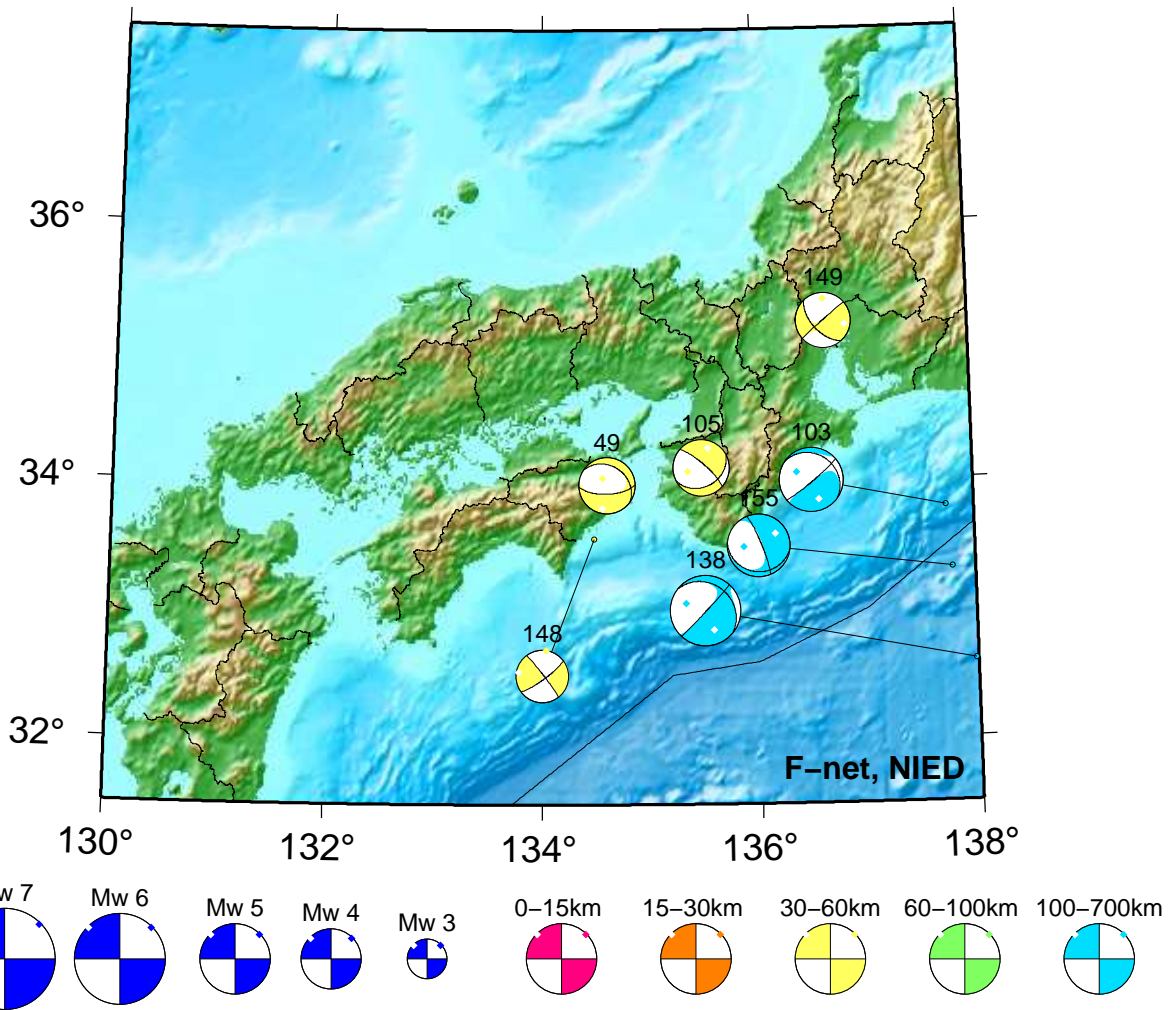


50. 10/05 02:12 Mw4.7 H_5km VR61.0	69. 10/05 22:39 Mw4.8 H_5km VR64.4	89. 10/07 02:43 Mw4.2 H_41km VR67.2
51. 10/05 02:22 Mw5.2 H_20km VR65.8	70. 10/05 22:56 Mw4.4 H_29km VR71.1	91. 10/07 04:51 Mw4.8 H_5km VR76.8
52. 10/05 03:20 Mw4.5 H_41km VR65.3	71. 10/05 23:53 Mw5.0 H_5km VR73.5	93. 10/07 08:36 Mw4.2 H_5km VR61.3
53. 10/05 03:30 Mw4.9 H_5km VR80.1	72. 10/06 01:11 Mw4.4 H_5km VR66.2	94. 10/07 13:46 Mw4.4 H_44km VR76.8
54. 10/05 08:18 Mw5.2 H_5km VR61.5	73. 10/06 01:25 Mw4.2 H_5km VR55.6	97. 10/08 02:29 Mw4.4 H_11km VR58.9
55. 10/05 08:47 Mw5.2 H_5km VR77.5	74. 10/06 01:58 Mw4.2 H_35km VR55.3	99. 10/08 08:32 Mw4.1 H_5km VR61.9
57. 10/05 10:05 Mw5.2 H_5km VR76.6	75. 10/06 05:53 Mw4.2 H_5km VR70.6	100. 10/08 14:36 Mw5.0 H_5km VR57.2
58. 10/05 10:40 Mw4.7 H_5km VR68.3	76. 10/06 06:56 Mw5.3 H_5km VR62.3	104. 10/09 06:53 Mw4.3 H_5km VR63.2
59. 10/05 10:59 Mw6.0 H_5km VR65.6	79. 10/06 10:31 Mw6.0 H_5km VR78.9	110. 10/11 18:55 Mw3.8 H_5km VR63.7
60. 10/05 11:53 Mw5.6 H_5km VR60.1	80. 10/06 12:49 Mw5.0 H_480km VR55.7	112. 10/11 20:31 Mw4.2 H_5km VR60.7
61. 10/05 13:00 Mw4.7 H_8km VR50.7	81. 10/06 13:57 Mw4.8 H_5km VR71.8	124. 10/15 08:44 Mw4.5 H_5km VR65.0
62. 10/05 14:41 Mw5.0 H_5km VR55.7	82. 10/06 14:20 Mw4.3 H_26km VR72.8	132. 10/19 07:15 Mw5.1 H_5km VR87.0
63. 10/05 15:22 Mw5.8 H_5km VR58.5	83. 10/06 14:49 Mw5.5 H_5km VR66.8	134. 10/19 09:48 Mw4.7 H_38km VR80.5
64. 10/05 15:48 Mw5.1 H_5km VR67.0	84. 10/06 16:09 Mw4.7 H_20km VR67.0	139. 10/21 04:01 Mw5.0 H_5km VR86.7
65. 10/05 17:50 Mw5.0 H_5km VR75.2	86. 10/06 22:06 Mw4.5 H_11km VR68.0	141. 10/21 08:07 Mw3.9 H_26km VR67.0
67. 10/05 20:56 Mw4.5 H_5km VR64.8	87. 10/06 22:15 Mw5.1 H_44km VR73.3	142. 10/21 11:42 Mw4.3 H_5km VR63.8
68. 10/05 21:01 Mw4.8 H_5km VR56.8	88. 10/07 01:13 Mw4.2 H_14km VR69.7	169. 10/29 05:18 Mw4.1 H_23km VR86.4

※鳥島近海の活動については、Mw4.5未満のメカニズム解を震源域の外に引き出していない。

# Kinki-Chugoku-Shikoku

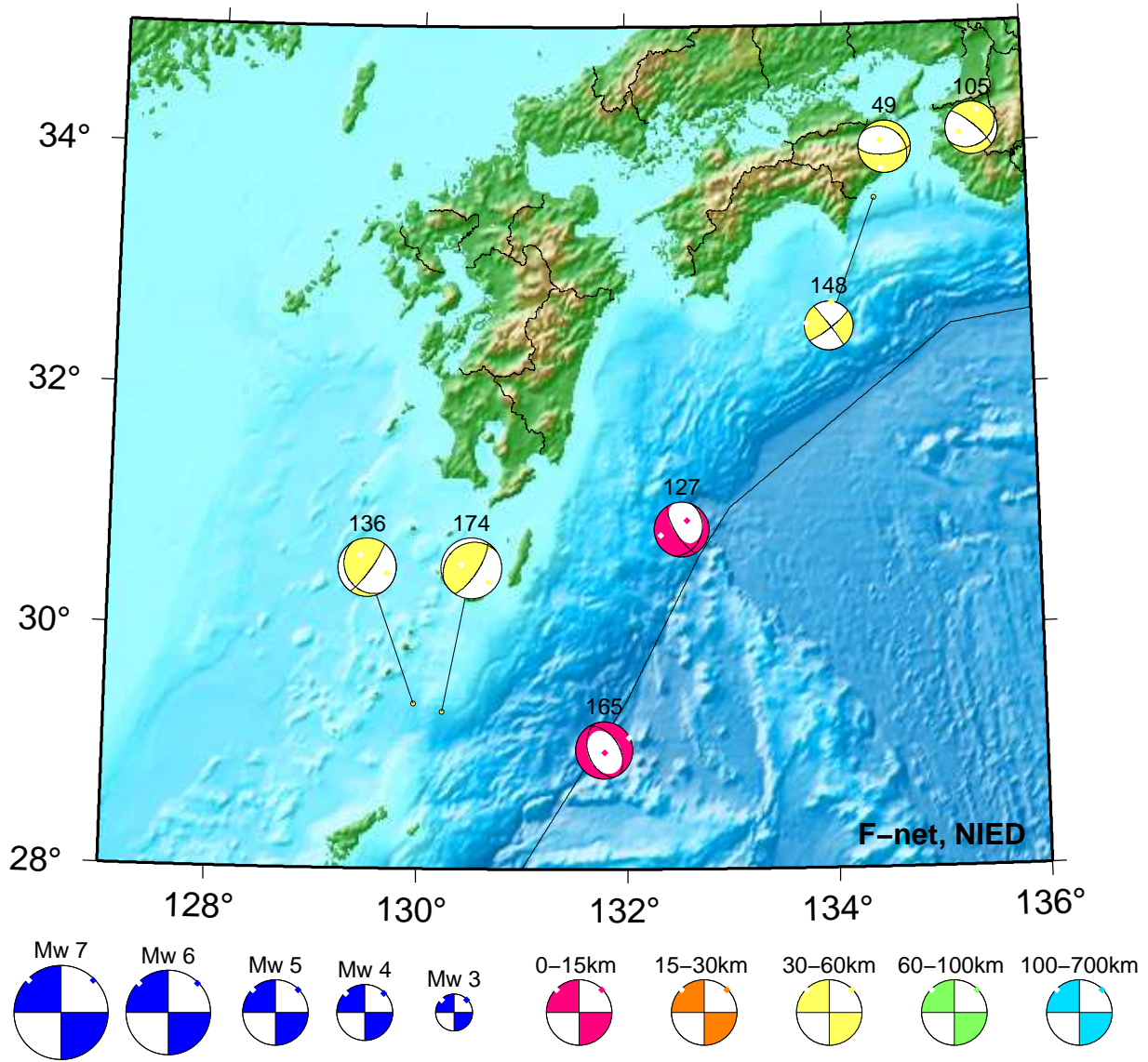
Oct 01,2023-Oct 31,2023(JST)



49. 10/05 02:01 Mw3.7 H\_35km VR68.5    138. 10/21 01:55 Mw4.6 H380km VR95.3    155. 10/24 17:42 Mw4.1 H360km VR66.8  
 103. 10/08 22:19 Mw4.2 H340km VR87.5    148. 10/23 02:57 Mw3.5 H\_32km VR78.4  
 105. 10/09 08:18 Mw3.7 H\_59km VR72.5    149. 10/23 13:49 Mw3.6 H\_47km VR85.2

# Kyushu

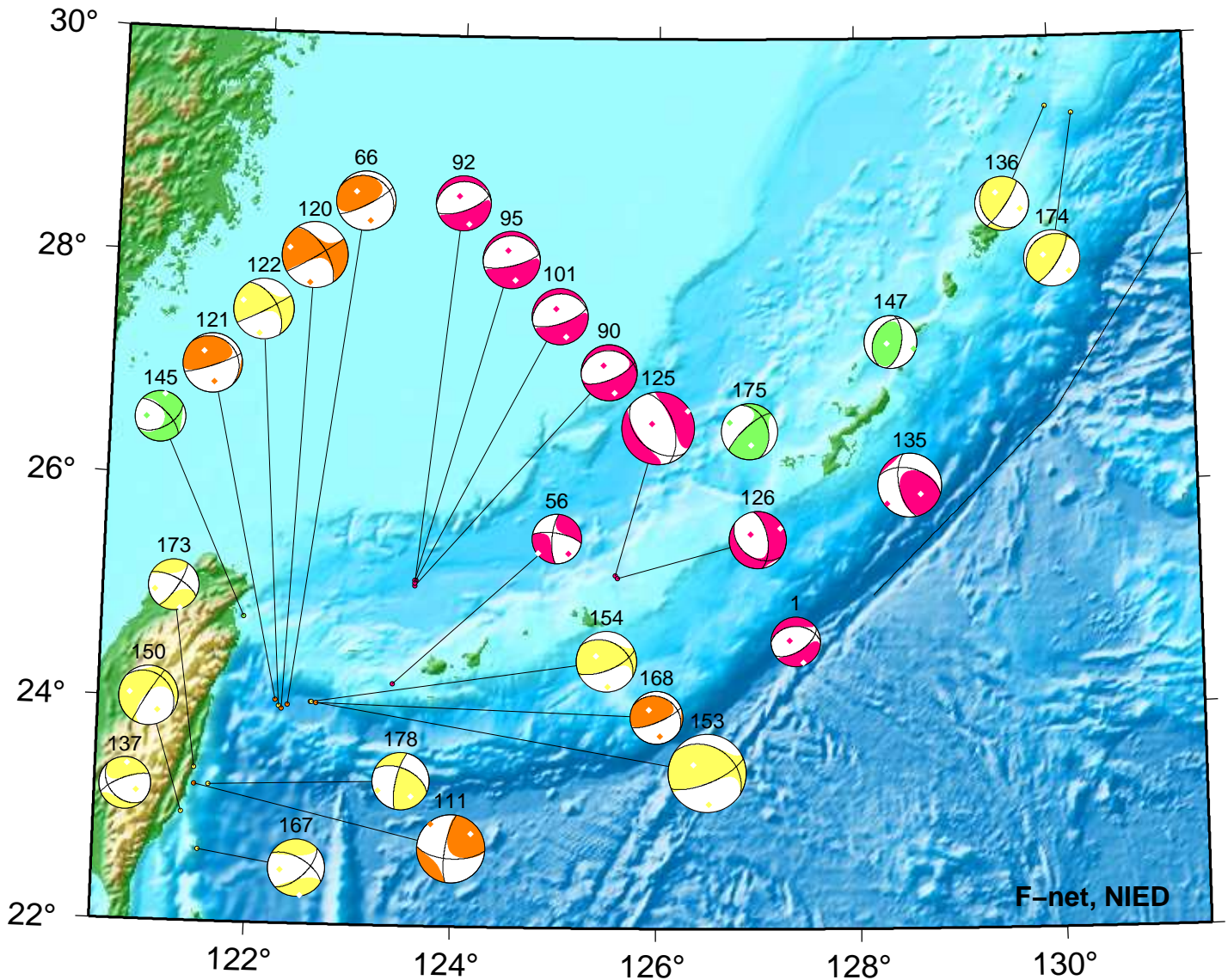
Oct 01,2023–Oct 31,2023(JST)



49. 10/05 02:01 Mw3.7 H_35km VR68.5	136. 10/20 03:28 Mw4.1 H_56km VR73.8	174. 10/30 07:55 Mw4.3 H_35km VR69.9
105. 10/09 08:18 Mw3.7 H_59km VR72.5	148. 10/23 02:57 Mw3.5 H_32km VR78.4	
127. 10/18 04:53 Mw3.9 H_8km VR62.8	165. 10/27 23:07 Mw4.1 H_5km VR67.3	

# Okinawa

Oct 01,2023–Oct 31,2023(JST)



F-net, NIED



1. 10/01 02:10 Mw3.8 H_5km VR57.9	121. 10/14 17:05 Mw4.5 H_23km VR67.0	150. 10/23 22:19 Mw4.5 H_38km VR76.7
56. 10/05 09:59 Mw3.8 H_11km VR88.8	122. 10/14 23:04 Mw4.6 H_44km VR83.5	153. 10/24 08:05 Mw6.0 H_44km VR85.2
66. 10/05 17:53 Mw4.5 H_20km VR77.3	125. 10/16 19:42 Mw5.6 H_11km VR79.8	154. 10/24 11:54 Mw4.7 H_32km VR84.2
90. 10/07 04:24 Mw4.3 H_5km VR86.0	126. 10/17 05:50 Mw4.3 H_8km VR74.7	167. 10/28 11:16 Mw4.3 H_35km VR82.1
92. 10/07 08:27 Mw4.2 H_5km VR86.5	135. 10/19 12:51 Mw4.9 H_8km VR59.1	168. 10/29 01:27 Mw4.0 H_29km VR86.7
95. 10/07 14:49 Mw4.4 H_5km VR79.3	136. 10/20 03:28 Mw4.1 H_56km VR73.8	173. 10/29 18:36 Mw3.9 H_32km VR74.2
101. 10/08 15:42 Mw4.3 H_5km VR88.5	137. 10/20 16:00 Mw3.9 H_32km VR73.1	174. 10/30 07:55 Mw4.3 H_35km VR69.9
111. 10/11 19:36 Mw5.2 H_29km VR64.0	145. 10/22 15:52 Mw3.8 H_89km VR81.1	175. 10/30 08:38 Mw4.3 H_83km VR91.0
120. 10/14 16:53 Mw5.0 H_29km VR79.6	147. 10/22 23:13 Mw4.0 H_65km VR58.5	178. 10/31 21:33 Mw4.4 H_56km VR56.1



# 紀伊半島・東海地域の深部低周波微動活動状況 (2023年10月)

● 顕著な活動は、とくにみられなかった。

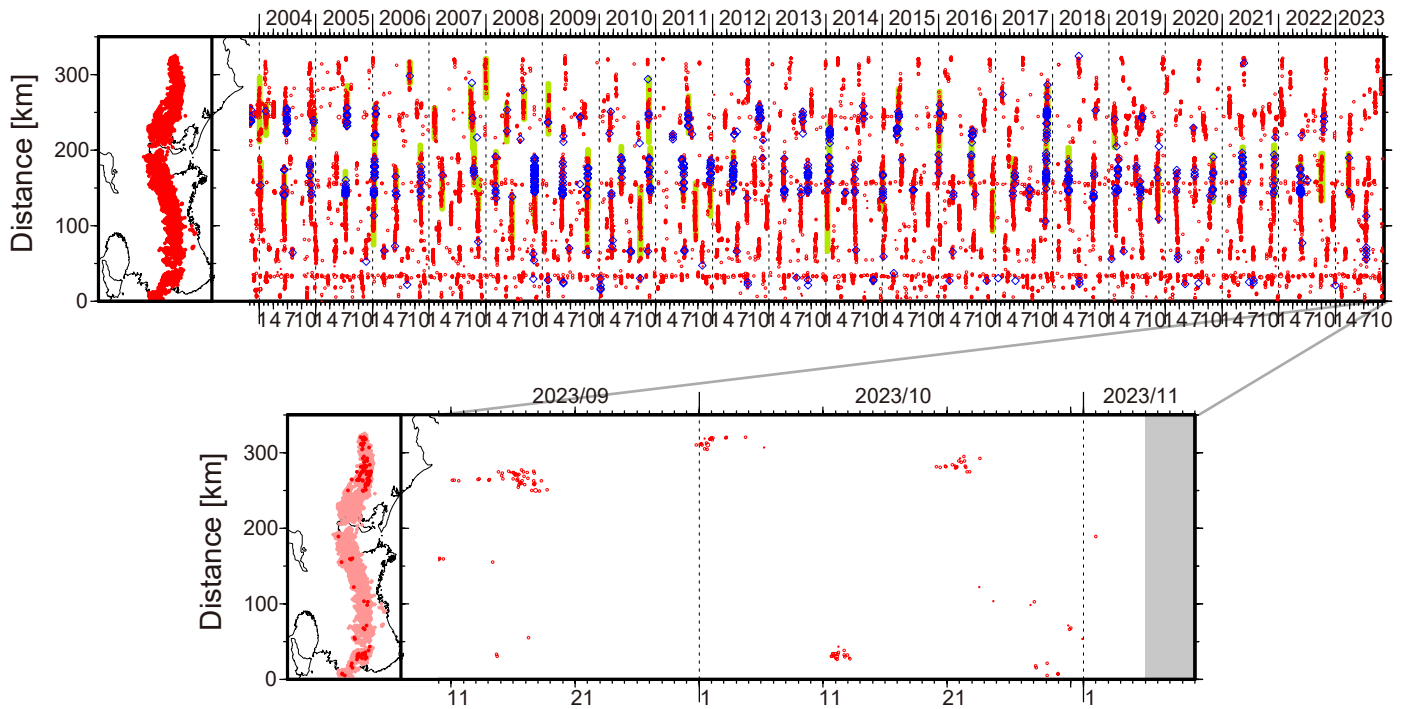


図1. 紀伊半島・東海地域における2003年11月～2023年11月5日までの深部低周波微動の時空間分布(上図). 赤丸はエンベロープ相関・振幅ハイブリッド法 (Maeda and Obara, 2009) およびクラスタ処理 (Obara et al., 2010) によって1時間毎に自動処理された微動分布の重心である. 青菱形は周期20秒に卓越する超低周波地震 (Ito et al., 2007) である. 黄緑色の太線はこれまでに検出された短期的スロースリップイベント (SSE) を示す. 下図は2023年10月を中心とした期間の拡大図である. 10月以降の期間において顕著な活動はとくにみられなかったものの, 9月30日～10月2日頃には長野県南部において, 10月11～13日頃および10月28～29日頃には和歌山県中部において, 10月20～23日頃には長野・愛知県境付近において, それぞれ小規模な活動がみられた. 10月30～31日頃には奈良県南部から和歌山・奈良県境付近において, ごく小規模な活動がみられた.

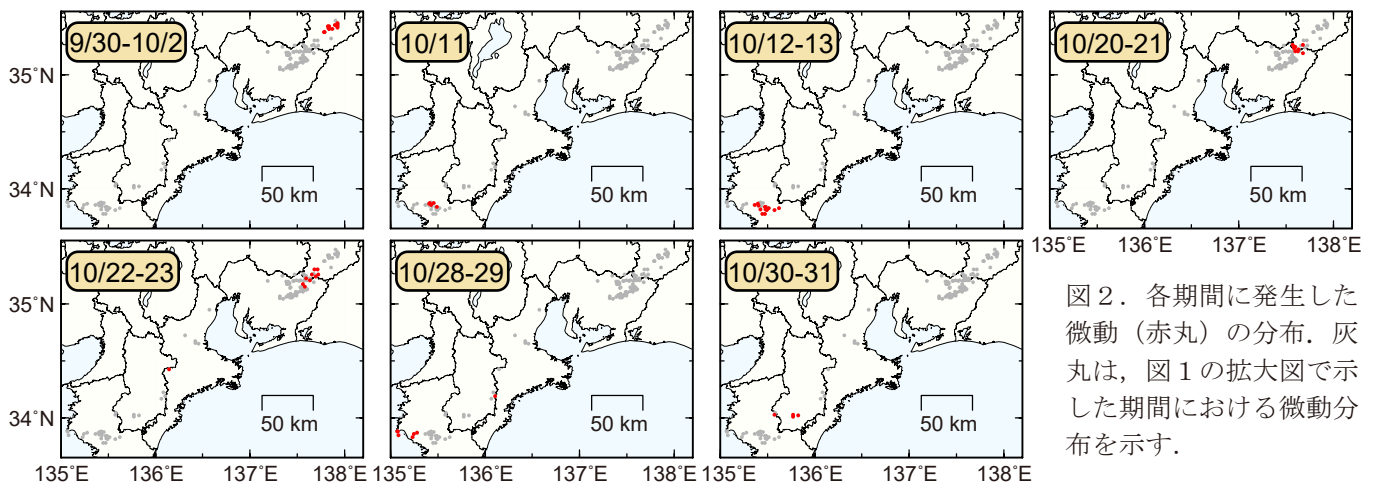


図2. 各期間に発生した微動(赤丸)の分布. 灰丸は, 図1の拡大図で示した期間における微動分布を示す.

● 11月1日頃から四国東部において、微動活動が開始。

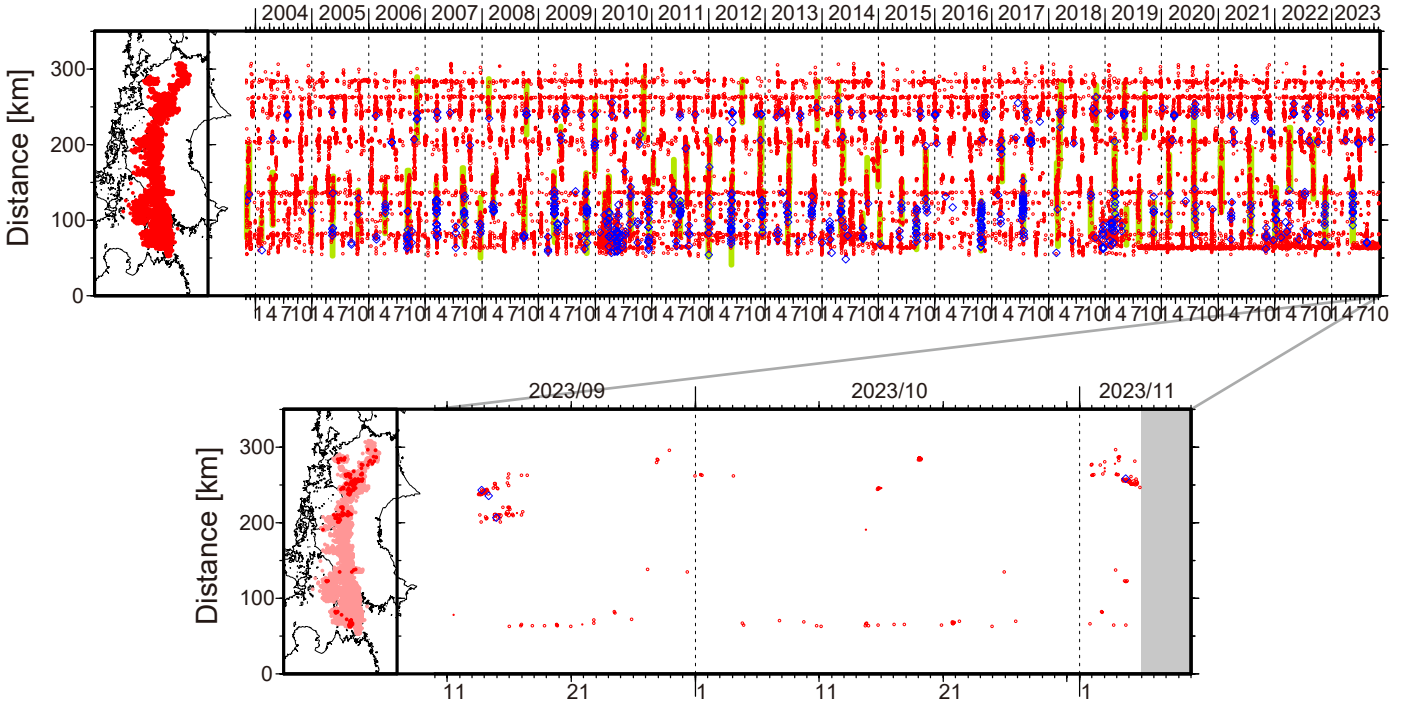


図1. 四国における2003年11月～2023年11月5日までの深部低周波微動の時空間分布(上図). 赤丸はエンベロープ相関・振幅ハイブリッド法 (Maeda and Obara, 2009) およびクラスタ処理 (Obara et al., 2010) によって1時間毎に自動処理された微動分布の重心である. 青菱形は周期20秒に卓越する超低周波地震 (Ito et al., 2007) である. 黄緑色太線は、これまでに検出された短期的スロースリップイベント (SSE) を示す. 下図は2023年10月を中心とした期間の拡大図である. 10月以降の期間の活動としては、11月1日頃から徳島県中部において微動活動が開始した後、4日頃から活発化し、やや西方向への活動域の移動がみられる. 9月30日～10月1日頃には香川・徳島県境付近において、10月15～16日頃には香川・愛媛県境付近において、10月19日頃には香川県付近において、11月4日頃には愛媛県西部において、それぞれごく小規模な活動がみられた.

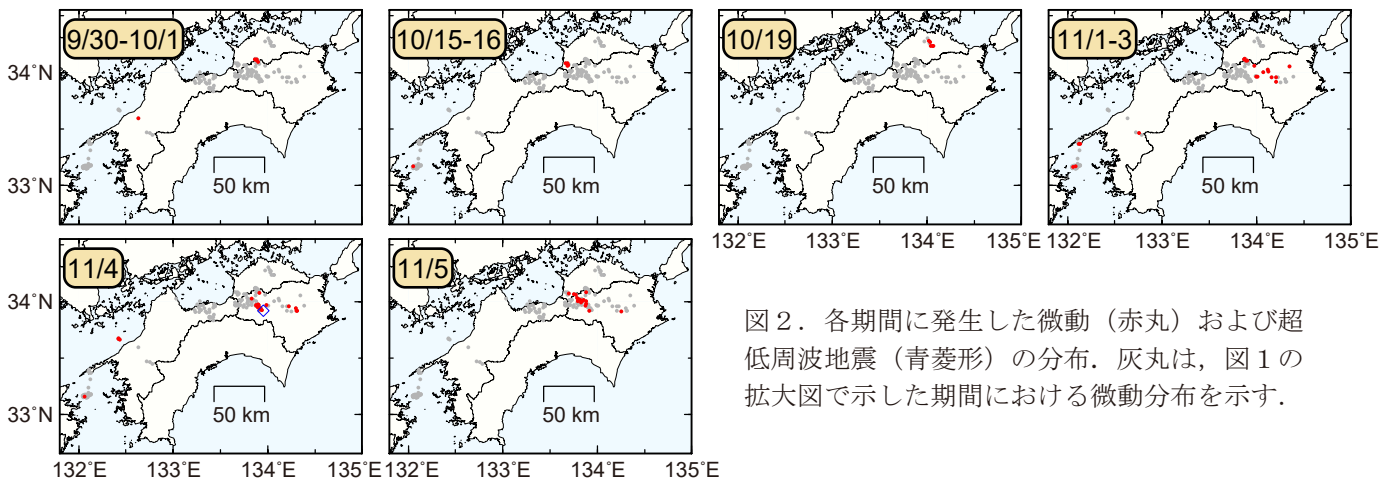


図2. 各期間に発生した微動(赤丸)および超低周波地震(青菱形)の分布. 灰丸は、図1の拡大図で示した期間における微動分布を示す.

# 2023年10月9日鳥島近海の地震のF-net観測波形

● F-net 広帯域地震計により，10月9日鳥島近海での地震活動に伴う地震波の伝播が観測された。

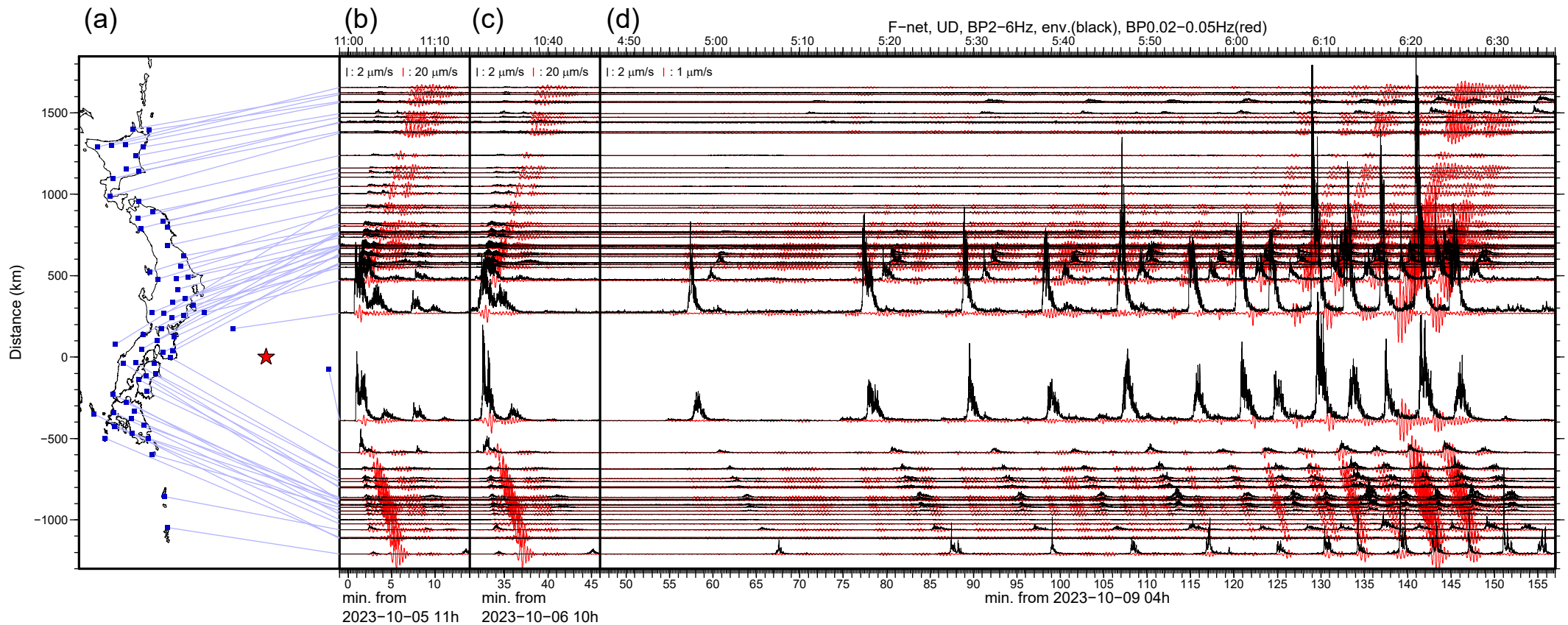


図1. 防災科研 F-net の広帯域地震計記録の上下動成分について，20～50秒の帯域でバンドパスフィルターを適用した地震波形（赤線）および，0.166～0.5秒（2～6 Hz）の帯域でバンドパスフィルターを適用し，スムージング処理したエンベロープ波形（黒線）. (a) 使用した F-net 観測点分布（青四角）. (b) 2023年10月5日10:59頃に鳥島近海で発生した Mw6.0 の地震（F-net 解）に関する，10:59 から15分間の観測波形. 震央（図(a)の赤星印）からの距離順に波形をプロットしている. 振幅のスケールを図中上側に示した. (c) (b)と同様にプロットした，2023年10月6日10:31頃に鳥島近海で発生した Mw6.0 の地震（F-net 解）に関する，10:31 から15分間の観測波形. (d) (b)と同様にプロットした，2023年10月9日4:47から110分間の地震波形. エンベロープ波形（黒線）の振幅スケールは同一であるが，赤線の波形の振幅は20倍に拡大されている. 10月9日の活動に伴う地震波形は4:55頃から6:30頃まで確認され，とくに6時台の振幅が大きくなっている. 10月9日の地震活動について2～6 Hz の帯域で顕著な波の見かけ速度は，赤星印を震央と仮定した場合，いずれも約 1.5 km/s となり，T フェーズと考えられる.

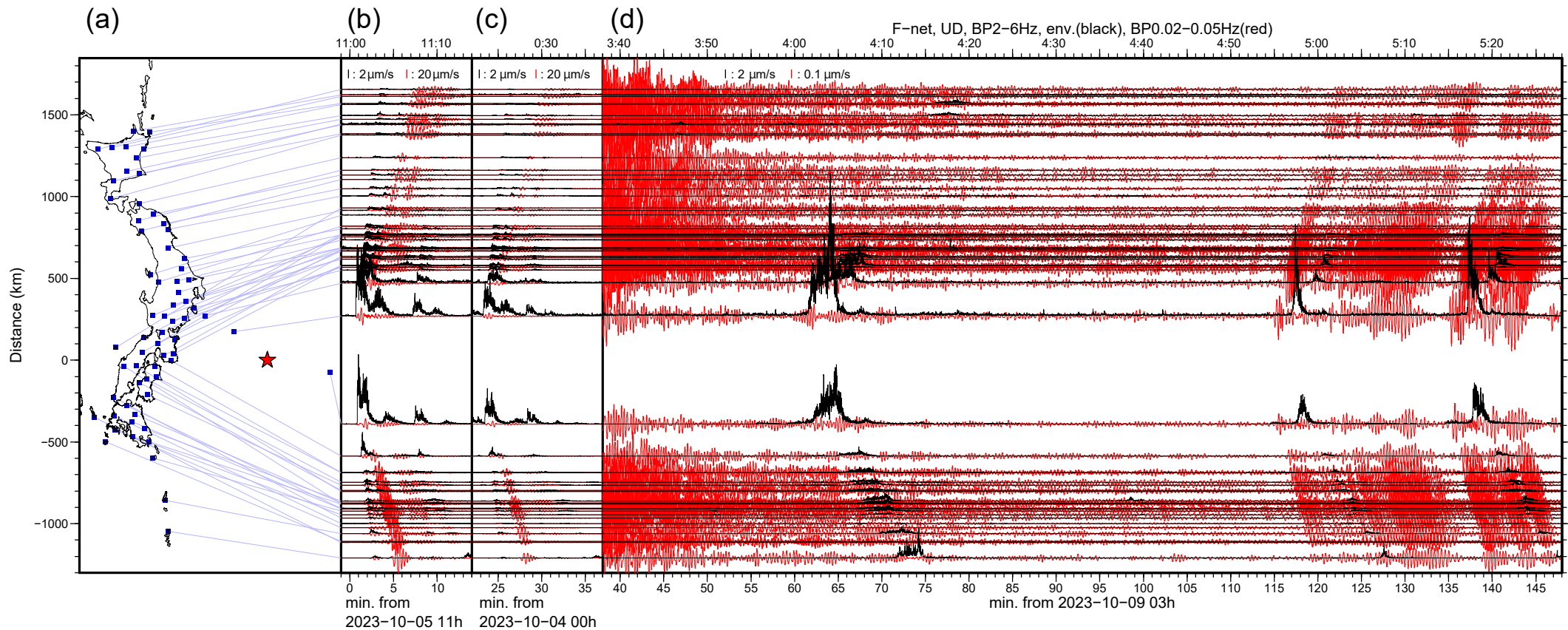
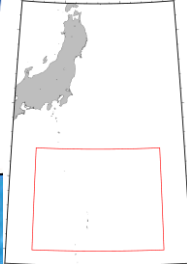


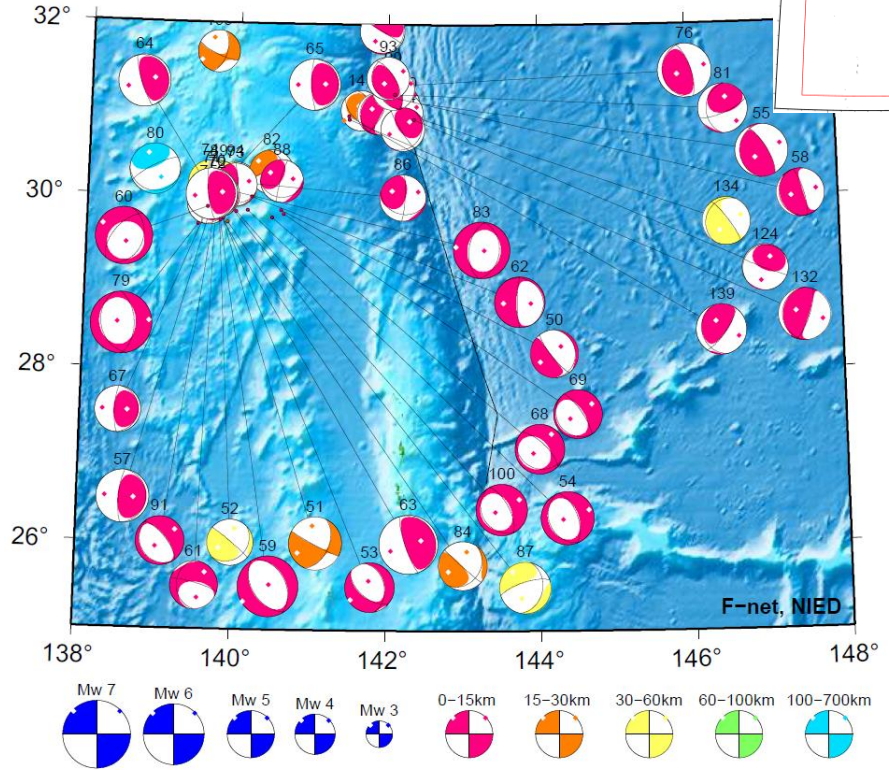
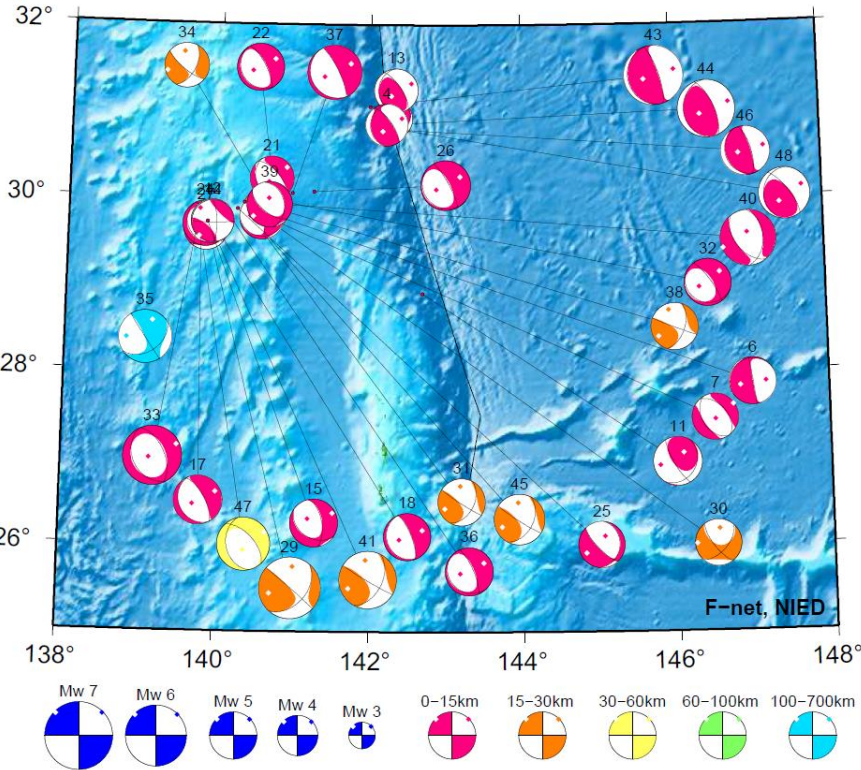
図2. 防災科研 F-net の広帯域地震計記録の上下動成分について、20～50 秒の帯域でバンドパスフィルターを適用した地震波形（赤線）および、0.166～0.5 秒（2～6 Hz）の帯域でバンドパスフィルターを適用し、スムージング処理したエンベロープ波形（黒線）. (a), (b) は図 1 と同様. (c) は 2023 年 10 月 4 日 0:22 頃に鳥島近海で発生した Mw5.7 の地震（F-net 解）に関する、0:22 から 15 分間の観測波形. (d) 2023 年 10 月 9 日 3:38 から 110 分間の地震波形. エンベロープ波形（黒線）の振幅スケールは (b), (c) と同一であるが、20～50 秒の帯域（赤線）の波形の振幅は 200 倍に拡大されている. 10 月 9 日 4:00 台に顕著な T フェーズがみられるものの、3:07 頃にパプアニューギニアで発生した Mw5.9（USGS 解）の地震のコーダ波の影響もあり、20～50 秒の帯域の F-net 波形について地震波の伝播は明瞭でない. その後、同帯域では断続的に微弱な地震波の伝播がみられたのち、4:55 頃からは明瞭に地震波の伝播がみられる.



# 2023年10月鳥島近海の地震 (F-netによるメカニズム解)

Oct 01,2023-Oct 04,2023(JST)

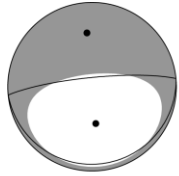
Oct 05,2023-Oct 31,2023(JST)



4. 10/01 13:05 Mw4.1 H_5km VR53.6	22. 10/03 07:42 Mw4.6 H_5km VR60.6	36. 10/04 04:27 Mw4.7 H_5km VR64.5	50. 10/05 02:12 Mw4.7 H_5km VR61.0	69. 10/05 22:39 Mw4.8 H_5km VR64.4	89. 10/07 02:43 Mw4.2 H_41km VR67.2
6. 10/02 00:36 Mw4.6 H_5km VR65.1	24. 10/03 10:37 Mw4.4 H_5km VR61.2	37. 10/04 05:32 Mw5.3 H_5km VR54.2	51. 10/05 02:22 Mw5.2 H_20km VR65.8	70. 10/05 22:56 Mw4.4 H_29km VR71.1	91. 10/07 04:51 Mw4.8 H_5km VR76.8
7. 10/02 04:09 Mw4.5 H_5km VR80.5	25. 10/03 16:19 Mw4.5 H_5km VR61.6	38. 10/04 06:19 Mw4.6 H_26km VR69.1	52. 10/05 03:20 Mw4.5 H_41km VR65.3	71. 10/05 23:53 Mw5.0 H_5km VR73.5	93. 10/07 08:36 Mw4.2 H_5km VR61.3
8. 10/02 04:53 Mw3.8 H_5km VR53.6	26. 10/03 17:29 Mw4.9 H_5km VR69.9	39. 10/04 07:38 Mw4.4 H_5km VR59.5	53. 10/05 03:30 Mw4.9 H_5km VR80.1	72. 10/06 01:11 Mw4.4 H_5km VR66.2	94. 10/07 13:46 Mw4.4 H_44km VR76.8
9. 10/02 05:42 Mw4.4 H_5km VR65.1	27. 10/03 17:37 Mw4.4 H_14km VR64.6	40. 10/04 09:13 Mw5.4 H_5km VR67.6	54. 10/05 08:18 Mw5.2 H_5km VR91.5	73. 10/06 01:25 Mw4.2 H_5km VR55.6	97. 10/08 02:29 Mw4.4 H_11km VR58.9
11. 10/02 11:33 Mw4.8 H_5km VR67.6	28. 10/03 20:21 Mw4.2 H_26km VR57.1	41. 10/04 11:19 Mw5.6 H_23km VR71.1	55. 10/05 08:47 Mw5.2 H_5km VR77.5	74. 10/06 01:58 Mw4.2 H_5km VR55.3	99. 10/08 08:32 Mw4.1 H_5km VR61.9
12. 10/02 16:29 Mw4.2 H_5km VR70.5	29. 10/03 20:38 Mw6.0 H_29km VR68.4	42. 10/04 13:49 Mw4.4 H_29km VR61.8	57. 10/05 10:05 Mw5.2 H_5km VR76.6	75. 10/06 05:53 Mw4.2 H_5km VR70.6	100. 10/08 14:36 Mw5.0 H_5km VR57.2
13. 10/02 17:46 Mw4.3 H_5km VR57.4	30. 10/03 22:38 Mw4.5 H_20km VR72.6	43. 10/04 13:55 Mw5.8 H_5km VR65.7	58. 10/05 10:40 Mw4.7 H_5km VR68.3	76. 10/06 06:56 Mw5.3 H_5km VR62.3	104. 10/09 06:53 Mw4.3 H_5km VR63.2
14. 10/02 17:49 Mw4.1 H_5km VR55.6	31. 10/03 23:09 Mw4.6 H_23km VR69.5	44. 10/04 14:57 Mw5.7 H_5km VR61.6	59. 10/05 10:59 Mw6.0 H_5km VR65.6	79. 10/06 10:31 Mw6.0 H_5km VR78.9	110. 10/11 18:55 Mw3.8 H_5km VR63.7
15. 10/02 22:15 Mw4.7 H_5km VR73.8	32. 10/04 00:18 Mw4.6 H_5km VR67.4	45. 10/04 19:47 Mw4.9 H_23km VR74.8	60. 10/05 11:53 Mw5.6 H_5km VR60.1	80. 10/06 12:49 Mw5.0 H_480km VR55.7	112. 10/11 20:31 Mw4.2 H_5km VR60.7
17. 10/02 23:17 Mw4.8 H_5km VR70.1	33. 10/04 00:22 Mw5.7 H_5km VR76.0	46. 10/04 20:00 Mw4.8 H_5km VR62.9	61. 10/05 13:00 Mw4.7 H_8km VR50.7	81. 10/06 13:57 Mw4.8 H_5km VR71.8	124. 10/15 08:44 Mw4.5 H_5km VR65.0
18. 10/03 00:43 Mw4.6 H_5km VR72.2	34. 10/04 03:59 Mw4.3 H_23km VR59.9	47. 10/04 20:05 Mw5.2 H_38km VR65.3	62. 10/05 14:41 Mw5.0 H_5km VR55.7	82. 10/06 14:20 Mw4.3 H_26km VR72.8	132. 10/19 07:15 Mw4.5 H_5km VR87.0
21. 10/03 04:17 Mw4.3 H_5km VR55.9	35. 10/04 04:16 Mw5.2 H_560km VR68.8	48. 10/04 20:13 Mw5.0 H_5km VR68.3	63. 10/05 15:22 Mw5.8 H_5km VR58.5	83. 10/06 14:49 Mw5.5 H_5km VR66.8	134. 10/19 09:48 Mw4.7 H_38km VR80.5
			64. 10/05 15:48 Mw5.1 H_5km VR67.0	84. 10/06 16:09 Mw4.7 H_20km VR67.0	139. 10/21 04:01 Mw5.0 H_5km VR86.7
			65. 10/05 17:50 Mw5.0 H_5km VR75.2	86. 10/06 22:06 Mw4.5 H_11km VR68.0	141. 10/21 08:07 Mw3.9 H_26km VR67.0
			67. 10/05 20:56 Mw4.5 H_5km VR64.8	87. 10/06 22:15 Mw5.1 H_44km VR73.3	142. 10/21 11:42 Mw4.3 H_5km VR63.8
			68. 10/05 21:01 Mw4.8 H_5km VR56.8	88. 10/07 01:13 Mw4.2 H_14km VR69.7	169. 10/29 05:18 Mw4.1 H_23km VR86.4

※Mw4.5未満のメカニズム解は震源域の外に引き出していない

# 2023年10月鳥島近海の地震 (F-netによるメカニズム解)



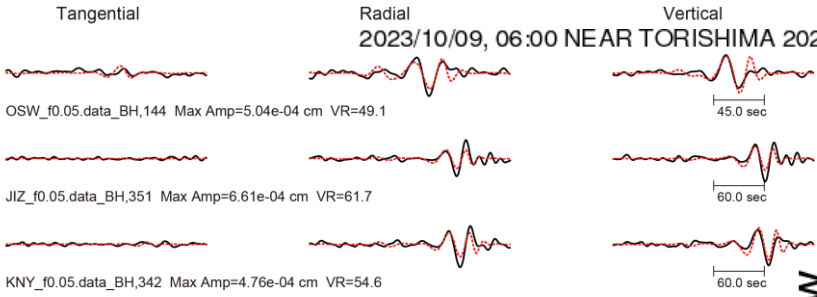
Mw = 4.9  
Mo [Nm] = 2.23e+16  
NP1: ( 86, 9, -89)  
NP2: (264, 81, -90)

Var. Red = 57.19  
Percent DC = 59  
Percent CLVD = 41  
Variance = 4.70e-09  
RES/Pdc. = 7.97e-11

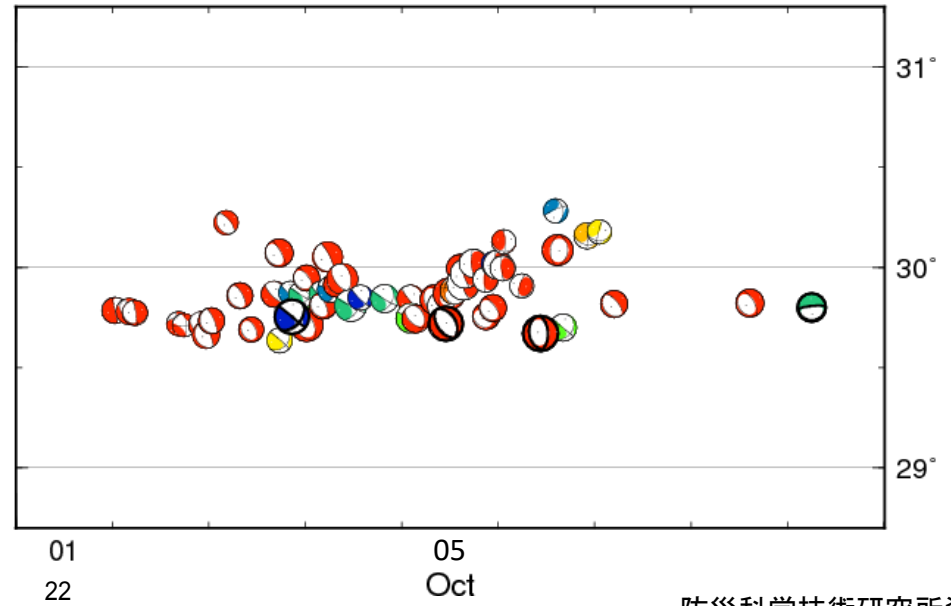
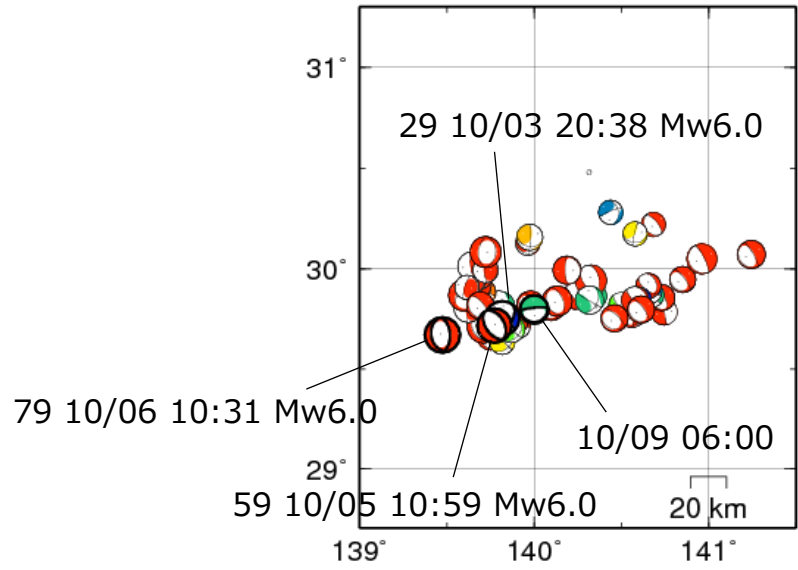
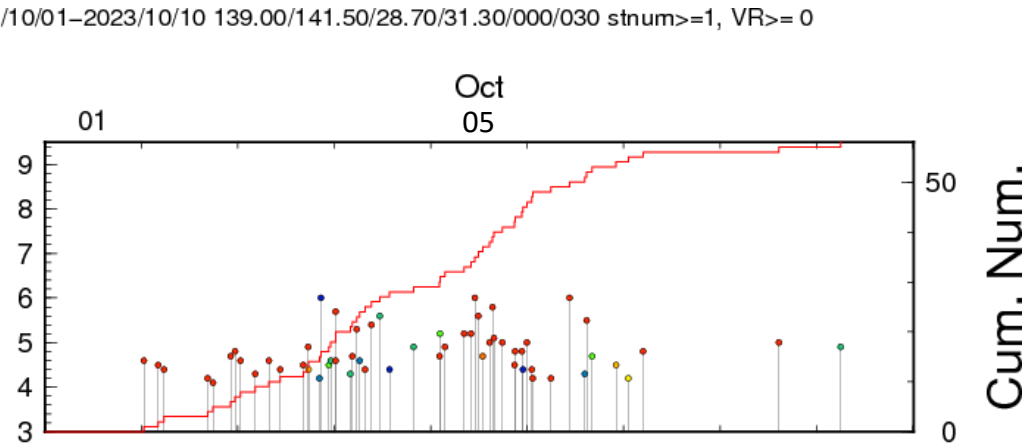
2023/10/09 06:00 (Mw 4.9)

※USGSによる震源情報を参考に解析

— Obs  
- - - Syn.



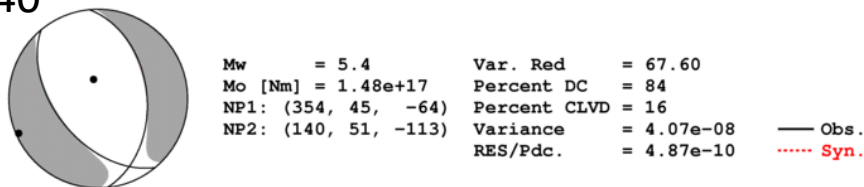
Depth [km]



# 2023年10月鳥島近海の地震 (F-netによるメカニズム解)

## メカニズム解と観測波形の例

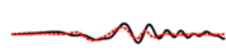
40



Tangential

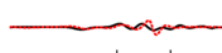
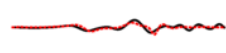
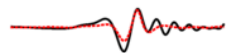
Radial

Vertical



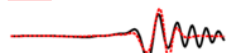
AOG\_f0.05.data\_BH,349 Max Amp=2.69e-03 cm VR=76.5

37.5 sec



OSW\_f0.05.data\_BH,149 Max Amp=2.07e-03 cm VR=63.8

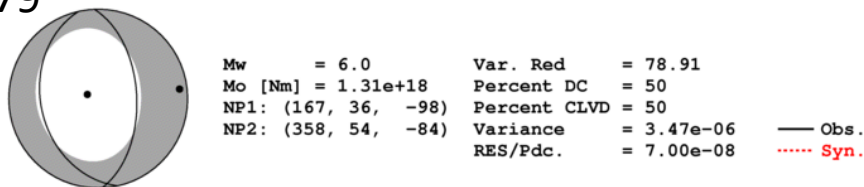
45.0 sec



WTR\_f0.05.data\_BH,325 Max Amp=1.24e-03 cm VR=54.4

60.0 sec

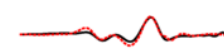
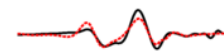
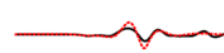
79



Tangential

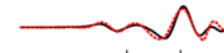
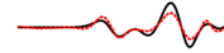
Radial

Vertical



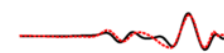
AOG\_f0.05.data\_BH,5 Max Amp=1.89e-02 cm VR=78.8

37.5 sec



OSW\_f0.05.data\_BH,136 Max Amp=1.96e-02 cm VR=81.3

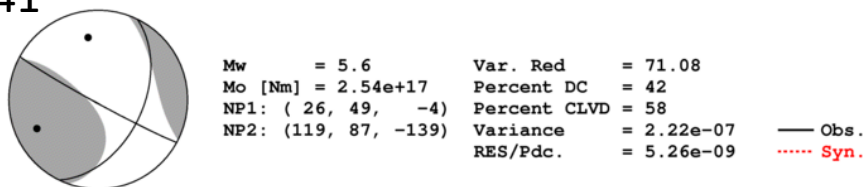
37.5 sec



KZS\_f0.05.data\_BH,357 Max Amp=1.05e-02 cm VR=72.5

45.0 sec

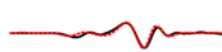
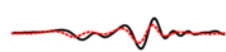
41



Tangential

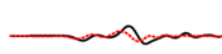
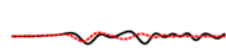
Radial

Vertical



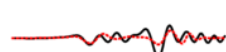
AOG\_f0.05.data\_BH,360 Max Amp=6.32e-03 cm VR=83.5

37.5 sec



OSW\_f0.05.data\_BH,141 Max Amp=4.08e-03 cm VR=58.8

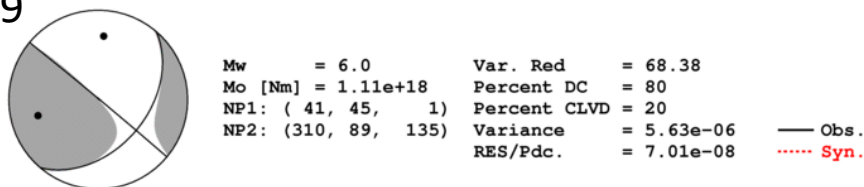
45.0 sec



WTR\_f0.05.data\_BH,330 Max Amp=2.44e-03 cm VR=56.9

60.0 sec

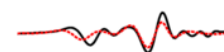
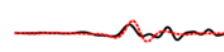
29



Tangential

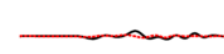
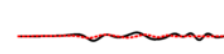
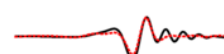
Radial

Vertical



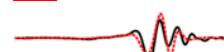
AOG\_f0.05.data\_BH,359 Max Amp=2.31e-02 cm VR=71.6

37.5 sec



OSW\_f0.05.data\_BH,141 Max Amp=3.14e-02 cm VR=76.7

45.0 sec



KMT\_f0.05.data\_BH,318 Max Amp=1.92e-02 cm VR=49.9

60.0 sec